

# استعمال بعض النماذج الإحتمالية المبتورة لدراسة خصائص التغويضات الصحية في شركة التأمين العراقية

م. م. ثائرة نجم عبد الله  
كلية الادارة والاقتصاد / الجامعة المستنصرية

أ. م. د. قيس سبع خماس  
كلية الادارة والاقتصاد / جامعة بغداد

## المستخلاص

نظراً لعدم وجود دراسة احصائية سابقة لسلوك التغويضات وبالتحديد التأمين الصحي الذي يمثل النسبة الأكبر من التغويضات في عموم شركات التأمين في العراق، تم اختيار هذه الدراسة وتطبيقها في شركة التأمين العراقية.

ولغرض تحديد أفضل أنموذج احتمالي يمثل تغويضات التأمين الصحي، تم استخدام أنماذجين إحتماليين تم تحديدهما من خلال الكشف الأولى لتوزيع عينة البحث باستخدام برنامج (Easy Fit) أحددهما منفرد وهو (Lognormal) لجميع مشاهدات العينة، والآخر مركب (Compound Weibull) عند تجزئة العينة إلى جزئين؛ جزء يمثل التغويضات الصغيرة والآخر للتغويضات كبيرة، وتم التركيز على الأنماذج المركب بشيء من التفصيل من حيث صياغته وأهميته. مع تطبيق حالة البتر في كليهما لأن التغويضات الصحية محددة من الأعلى بمبلغ مليوني دينار في هذه الشركة.

وتم تقدير معلمات كلا الأنماذجين باستخدام طريقة الأمكان الأعظم (MLE) واستخدام اسلوب (نيوتون - رافسون) في إيجاد هذه التقديرات. ومن ثم المقارنة بين الأنماذجين باستخدام المقياس (MSE). وتم التوصل بشكل عام إلى أن الأنماذج المركب هو أفضل من الأنماذج المنفرد في تمثيل التغويضات.

**المصطلحات الرئيسية للبحث :** التأمين، التوزيعات المبتورة، أنماذج lognormal المبتور من الأعلى، أنماذج Weibull المركب المبتور من الأعلى، طريقة الأمكان الأعظم.



مجلة العلوم  
الاقتصادية والإدارية  
المجلد 19  
العدد 72  
الصفحة 320-289

\*ملاحظة: هذا البحث مستل من رسالة ماجستير

## المبحث الأول / تمهيد

### 1- المقدمة

يعد التأمين أحد القطاعات الاقتصادية المهمة التي يقوم عليها الاقتصاد الوطني بالنسبة للدول، فهو يسهم في تمويل خطط التنمية وحماية الاقتصاد القومي من الهزات المالية التي قد يتعرض لها. وقد ظهر التأمين بشكل اقتصادي تعاوني بين الأفراد أو المنشآت المعرضة للأخطار نفسها، ثم تطور هذا النظام التعاوني بفضل التقدم الكبير في العلوم الرياضية والاكتواريالية والاجتماعية مما أدى إلى إرساء الأطر العلمي والعملي لصناعة التأمين في المجتمعات الحديثة. حيث أصبح التأمين نظاماً لجمعية الأخطار وتوزيعها بين الأفراد المشتركين في النظام عن طريق المشاركة في تحمل الخسائر.

ويعد التأمين من أهم السياسات وأكثرها استعمالاً وانتشاراً في مواجهة الأخطار\* والتعامل معها وتخفيف عبء الخسارة الناجمة عنها.

يعرف التأمين بأنه "عملية يحصل أحد أطرافها وهو (المؤمن له) من الطرف الآخر وهو (المؤمن) على وعد بتغطية (المؤمن له) أو شخص ثالث في حالة الخسارة، وتسمى الخسارة التي تدفع لقاء هذه الخدمة بالقسط. ويقبل المؤمن المخاطر بكاملها ويعوض عنها وفق القوانين الاحصائية"(6).

يعد التأمين الصحي من الفروع المهمة في التأمين، وذلك لأنَّه على علاقة مباشرة بالفرد والمجتمع. فجميع أفراد المجتمع ممكِن أن يكونوا عرضة لحوادث صحية وإصابات بدنية وأمراض.

إن أهم جانب في التأمين هو جانب التغطيات\*\*، لذلك يتوجب التركيز على دراسته بأسلوب علمي ودقيق من أجل وضع أسس وضوابط صحيحة للتغطية والحفاظ على موازنة مستقرة في تقدير الإحتمالات المناسبة للتغطيات المتوقعة.

لقد أهتم الأكتواريون بدراسة بيانات التغطيات، فمن خلال هذه الدراسات يمكن إيجاد التوزيع الاحتمالي الذي يحكم عملية التغطية (Payment process).

ومن الأسباب المهمة التي تدفع إلى دراسة توزيعات التغطيات هو أن أي تغيير في أشكال هذه التوزيعات غالباً ما يكون له تأثيرات مختلفة في مستويات التغطية (Layers of coverages) لعقود التأمين المختلفة. كما وتعد الخسارة من أساسيات نظرية الخطورة (Theory of risks).

إن إستعمال النماذج الاحتمالية في تمثيل البيانات (التغطيات) أهمية كبيرة في وصف الخصائص البارزة لعملية التغطية بدرجة معينة من الدقة وكذلك بكشف لنا الحقائق والمعلومات المتدخلة في عملية التغطية.

وعادة ما يتم إستعمال النماذج المبتورة في هذا النوع من الظواهر وذلك لأن مبالغ التغطيات محددة بعقد التأمين أي إن هناك بتر في البيانات(13)(14).

سنقدم خلال هذه الدراسة أسلوباً لاختيار أفضل نموذج إحتمالي يصلح لتمثيل بيانات التغطيات المتمثلة ببيانات التأمين الصحي في شركة التأمين العراقية.

\* الخطير: - الخطير بمعنى التأميني هو الحادث المحتمل الواقع الذي يخشى المتعاقدان ويأمل المؤمن له إلا يتحمله منفرداً وانه اذا وقع وجب على المؤمن تنفيذ التزامه بتغطية المؤمن له أو دفع المبلغ المؤمن به<sup>(3)</sup>.

\*\* التغطية: - هو التزام المؤمن المقابل للالتزام المؤمن له وذلك بأن يدفع المؤمن له الأقساط التي تترتب عليه لقاء الحماية التي يحصل عليها المؤمن عن الأضرار التي تتحقق له، وذلك بدفع التغطية من قبل المؤمن للمؤمن له بشرط أن تكون الأضرار ناتجة عن أخطار مشمولة بالتغطية وضمن المدة التأمينية<sup>(7)</sup>.



## ١-١-١: شركة التأمين العراقية<sup>(٢)</sup>:

هي أحدى الشركات العامة التابعة لوزارة المالية وتتبع لأحكام قانون الشركات العامة رقم (22) لسنة 1997 وقانون تنظيم أعمال التأمين رقم (10) لسنة 2005.

تأسست الشركة في 14/10/1959 كشركة أهلية مساهمة، أمت عام 1964 وتخصصت بأعمال التأمين على الحياة سنة 1965، ألغى التخصص عام 1988 وزاولت أعمال التأمين على الممتلكات (السيارات التكميلي، البحري /بضائع ، الحريق، السرقة والحوادث والهندسي).

يبلغ رأس المال الشركة المدفوع مليار دينار عراقي.

وللشركة تسعه عشر منفذ تسوقي، ستة منها في المراكز التجارية المهمة في بغداد وثلاثة عشر في مركز كل محافظة من محافظات العراق.

وبموجب قانون (12) لسنة 2009، فإن أقساط التأمين معفاة من الضريبة وهي كالتالي:

- أقساط التأمين على الحياة والحد الأعلى لها يبلغ مليوني دينار.
- أقساط التأمين على الممتلكات والحد الأعلى لها يبلغ مليون دينار.

## ١-٢: مشكلة البحث

يؤكد المختصون بشؤون التأمين على ضرورة استعمال النماذج الرياضية في تمثيل بيانات التعويضات. فالأنموذج الرياضي يحقق لنا توسيع ومقارنة المعلومات والحقائق الكثيرة والمترادفة لعملية التعويض، كذلك يصف الخصائص البارزة لها بدرجة معينة من الدقة. إن الأنموذج الرياضي الذي يصف عملية التعويض سوف يعامل على أنه تعبير رياضي لحالة معينة مرتبطة بالواقع. فالواقعية هي التي تعطي الأنموذج الرياضي المناسب.

ولغرض الكشف عن التوزيع الاحتمالي الذي يحكم عملية التعويض يجب أن تكون هناك مشاهدات حقيقة مستقلة عن بعضها البعض عن الظاهرة المعنية. وبعد أن يتم الحصول على بيانات التعويضات يتم ترتيبها بحسب مبلغ التعويض ويتم توفيق توزيع مستمر وموجب لاجمالي البيانات.

ولغرض معرفة وتشخيص التأثيرات التي تطرأ على عملية التعويض فإنه لابد أن تكون هناك عملية فحص وتغيير واختبار لأنموذج المستعمل لأي بيانات جديدة يتم الحصول عليها. سنقدم خلال هذه الدراسة اسلوباً علمياً لتوفيق وإختيار أفضل أنموذج احتمالي يصلح لتمثيل بيانات التعويض المتمثلة ببيانات التأمين الصحي في شركة التأمين العراقية. حيث تعد هذه الدراسة أول دراسة إحصائية من هذا النوع لهذه الشركة.

## ١-٣: هدف البحث

يهدف البحث الى دراسة جانب التعويضات الصحية في شركة التأمين العراقية والاعتماد على نتائج التحليل الاحصائي لتحديد أفضل توزيع احتمالي لتمثيل بيانات التأمين الصحي وتحديد خصائصها.

يركز البحث على طريقة توفيق أنماذجين احتماليين: الاول منفرد مبتور (Truncated Single Model) والأخر مركب مبتور (Truncated Compound Model) لبيانات التعويضات الصحية وسيتم تقدير معلمات كلا الأنماذجين بإستعمال طريقة الامكان الاعظم (Maximum Likelihood Estimators). ومن ثم المقارنة بين الأنماذجين المنفرد المبتور والمركب المبتور على اساس اقل قيمة لمتوسط مربعات الخطأ (MSE) واختيار الأنموذج المناسب بالاستناد الى بيانات العينة. وبعد عملية اختيار الأنموذج المناسب يكون بإمكاننا دراسة خصائص هذه التعويضات.

## ١.٥: البيانات:

من المعلوم أن درجة الدقة في اية دراسة وصحة القرارات التي تتخذ بخصوصها تعتمد على مدى شمول البيانات التي يتم استخدامها والفتره الزمنية التي تمثلها.  
ولغرض دراسة توزيع تعويضات التأمين الصحي فإن ذلك يتطلب توفر البيانات التي تخص التأمين الصحي لمدة زمنية محددة، لذا فإن البيانات التي سيتم استعمالها في هذا البحث تمثل قيم تعويضات التأمين الصحي المسجلة في قسم التأمين الجماعي في شركة التأمين العراقيه للعام (2011) ولمدة سنة كاملة.  
حيث يحتل فرع التأمين الصحي النسبة الاكبر من بيانات التعويضات نظراً لكثرة عدد الحوادث والاصابات الصحية والامراض.

قام الباحثان بجمع البيانات التي تخص مشكلة البحث من خلال سجلات شركة التأمين العراقيه وذلك لعدم توفرها بشكل نشرات. علماً بأن هذه التعويضات تمثل التعويضات الفعلية التي دفعت خلال العام (2011) ولا تمثل الحوادث والاصابات الصحية والامراض التي وقعت خلال هذا العام بالذات بل إن طلب التسوية للتعوي

## المبحث الثاني / الجانب النظري

### ١.٢: المقدمة:

يتضمن هذا الفصل توضيح بعض المفاهيم التي تم استعمالها في الجانب التطبيقي للبحث. إذ يتم عرض النماذج الإحتمالية المستعملة في تمثيل العينة، وذكر الخصائص العامة والرئيسية لهذه النماذج. كذلك عرض النماذج المركبة وال فكرة من استعمالها وأهميتها، والتتركيز على خاصية البتر (Truncation Property) في النماذج سواء أكانت أنموذج منفرد أو مركب.  
تناولنا بعد ذلك طريقة تقدير معلمات النماذج التي استخدمت في التطبيق وهي طريقة الإمكان الأعظم (MLE) وأن هذه الطريقة تتطلب إستعمال الأسلوب التكراري (نيوتون - رافسون) مثلاً لكون النماذج المستعملة في البحث تنتج معادلات طبيعية غير خطية. ومن ثم توضيح أسلوب المقارنة بين النماذج المستعملة بإستعمال أقل متوسط مربعات خطأ (MSE) لتحديد أفضل أنموذج احتمالي لتمثيل بيانات التأمين الصحي في شركة التأمين العراقيه.

### ٢: النماذج الإحتمالية لحجم التعويضات:

من خلال الدراسات والخبرات السابقة في مجال توزيع حجم التعويضات، فإن النماذج الإحتمالية التي تحكم هذه العملية تتشابه في الكثير من الخواص العامة ومنها:

١- إنها تعامل مع المتغيرات الموجبة فقط.

٢- معلمات هذه النماذج موجبة أيضاً.

٣- معلومة الشكل لهذه النماذج ذات مرنة عالية إذ يتغير شكل التوزيع على وفق تغيير قيمة هذه المعلومة.

٤- إن هذه النماذج ذات التوااء موجب.

وبما أن طبيعة بيانات العينة هي التي تحدد الأنماذج الإحتمالي الأنسب وإن التعويضات الصحية في عقود التأمين في شركة التأمين العراقيه محددة من الأعلى بقيمة أعلى تعويض وعليه فإن النماذج الإحتمالية التي سيتم إستعمالها ستكون مبتورة من الأعلى. وتم إستعمال أنموذجين إحتماليين؛ أحدهما منفرد (Single model) والآخر مركب (Compound model) وكلاهما مبتور من الأعلى. وسيتم توضيح أسلوب اختيار هذين الأنماذجين في الجانب التطبيقي من هذا البحث.

ولابد من تقديم نبذة مختصرة عن التوزيعين اللذين تم اعتمادهما في بناء الأنماذجين (المنفرد والمركب) وهما توزيع (Weibull) وتوزيع (Lognormal) وتوضيح فكرة النماذج المركبة وخاصة البتر في التوزيع وكالاتي:

**١-٢-١: توزيع Weibull**

يعد توزيع ويبل أحد التوزيعات المستمرة (Continuous)، وأحد نماذج الفشل الشائعة والمهمة. قدم هذا الأنماذج من قبل الفيزياوي السويدي Weibull في تحليله لظاهرة قوة المادة (Material) <sup>(8)</sup>. إذا كان للمتغير العشوائي  $x$  توزيع (Weibull) ذو الثلاث معلمات فان دالة الكثافة الاحتمالية له تكون كالتالي :

$$f_{W(3p)}(x_i; \alpha, \beta, \lambda) = \frac{\alpha}{\lambda} \left( \frac{x_i - \beta}{\lambda} \right)^{\alpha-1} \cdot e^{-\left(\frac{x_i - \beta}{\lambda}\right)^\alpha}; \text{ where: } \begin{cases} \beta < x_i < \infty \\ \alpha > 0 \\ \lambda > 0 \\ \beta \geq 0 \end{cases} \dots (1-2)$$

حيث أن:

$\alpha$  : تمثل معلمة الشكل (Shape parameter)

$\lambda$  : تمثل معلمة القياس (Scale parameter)

$\beta$  : تمثل معلمة الموضع (Location parameter)

والدالة التوزيعية التجميعية لهذا الأنماذج هي :

$$F_{W(3p)}(x) = 1 - e^{-\left(\frac{x - \beta}{\lambda}\right)^\alpha} \dots (2-2)$$

وعندما تكون معلمة الموضع  $\beta = 0$  فإنه يتحول إلى توزيع (Weibull) ذو المعلمتين والذي تكون دالته الاحتمالية كالتالي:

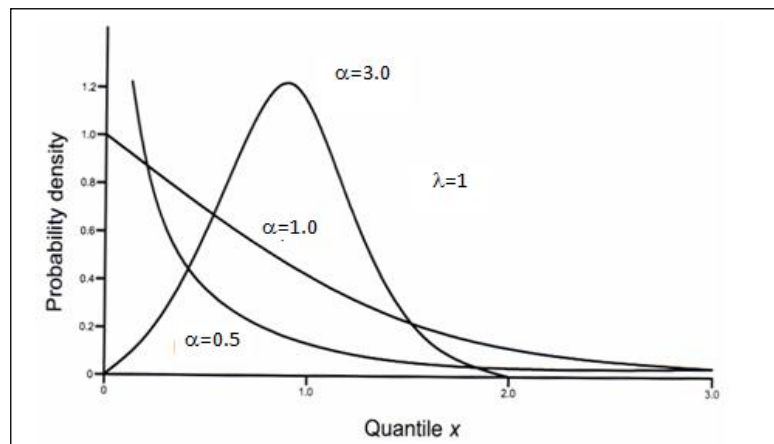
$$f_{W(2p)}(x_i; \alpha, \lambda) = \frac{\alpha}{\lambda} \left( \frac{x_i}{\lambda} \right)^{\alpha-1} \cdot e^{-\left(\frac{x_i}{\lambda}\right)^\alpha}; \text{ where: } \begin{cases} 0 < x_i < \infty \\ \alpha > 0 \\ \lambda > 0 \end{cases} \dots (3-2)$$

والدالة التوزيعية التجميعية له هي :

$$F_{W(2p)}(x) = 1 - e^{-\left(\frac{x}{\lambda}\right)^\alpha} \dots (4-2)$$

ولسهولة إيجاد الدالة التوزيعية لهذا الأنماذج جعلته يستخدم بشكل واسع في التطبيقات العلمية المختلفة، فهو يستخدم بشكل واسع في حقل المغولية (Reliability) وفي مجال السيطرة النوعية.

ويمكن ملاحظة شكل الدالة الاحتمالية لهذا الأنماذج من الشكل رقم (1-2) لقيم مختلفة للمعلمة  $\alpha$  تكون  $\lambda=1$ .  
عندما



شكل رقم (1-2): دالة الكثافة الاحتمالية لتوزيع ويل لقيم  $\alpha$  مختلفة عندما  $\lambda=1$  و  $\beta=0$

## 2.2.2: توزيع Lognormal

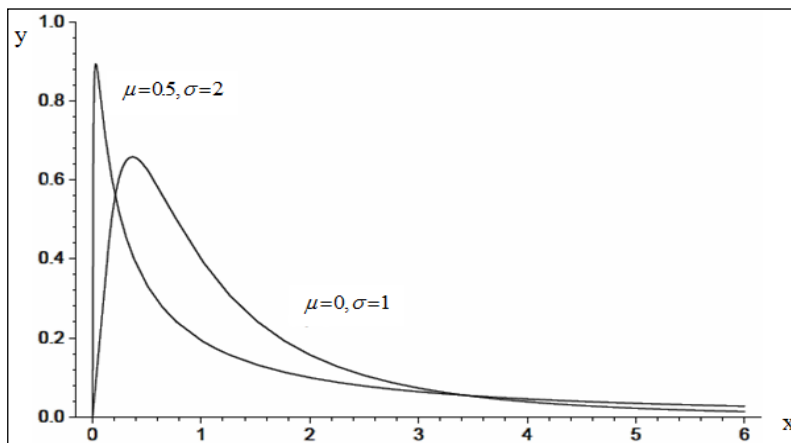
ليكن  $x$  متغيراً عشوائياً وان التحويل اللوغاريتمي  $y = \ln x$  ، فإذا كان  $y$  يتوزع توزيعاً طبيعياً فإن  $x$  يتوزع (Lognormal) وتكون دالة الكثافة الاحتمالية لهذا النوع كالتالي :

$$f_L(x_i; \mu, \sigma) = \frac{1}{\sqrt{2\pi} \sigma x_i} e^{-\frac{1}{2}\left(\frac{\ln x_i - \mu}{\sigma}\right)^2}, \text{ where: } \begin{cases} x_i > 0 \\ \sigma > 0 \\ -\infty < \mu < \infty \end{cases} \dots(5-2)$$

أن معلمة القياس لهذا الأنماذج هي  $e^\mu$  ، ومعلمة الشكل هي  $\sigma$  .  
أما الدالة التوزيعية التجريبية لهذا الأنماذج فهي:

$$F_L(x) = \frac{1}{\sqrt{2\pi} \sigma} \int_0^x \frac{1}{x} e^{-\frac{1}{2}\left(\frac{\ln x - \mu}{\sigma}\right)^2} dx = \Phi\left(\frac{\ln x - \mu}{\sigma}\right) \dots(6-2)$$

إذ تستخدم جداول التوزيع الطبيعي القياسي لقيم  $x, \mu, \sigma$  مختلفة في ايجاد قيمة الاحتمال لهذه الدالة.  
يستخدم أنماذج (Lognormal) في كثير من التطبيقات العلمية وذلك لأنه ذو التوااء موجب ويأخذ المتغيرات العشوائية الموجبة فقط . كما ان قيمة معلمة الشكل  $\sigma$  تجعله كثير المرونة مما يجعله يصلح في تمثيل الكثير من الظواهر العشوائية والشكل رقم (2-2) يوضح دالة الكثافة الاحتمالية لهذا التوزيع. لذلك نجد ان هذا الأنماذج غالباً ما يؤخذ كافتراض أولي عند توفيق منحي تكراري للبيانات الموجبة.



شكل رقم (2-2): الدالة الاحتمالية لتوزيع Lognormal لقيم  $\mu$  و  $\sigma$  مختلفة.

### 3-2-2: النماذج المركبة (المختلطة): Compound (Mixed) Models

نالت التوزيعات المركبة اهتمام الباحثين ولاسيما في العقود الأخيرة. فهي عبارة عن مزيج من توزيعين أو أكثر ويسمى (Compound distribution)<sup>(1)</sup>. وتستخدم هذه النماذج المركبة غالباً عند فشل الأنموذج الاحتمالي المنفرد في تمثيل بيانات التعويضات الإجمالية بسبب طبيعة البيانات ولاسيما بالنسبة لقيم الكبيرة الواقعة في النهاية الطرفية وذلك لعدم توفر مشاهدات كافية بالنسبة لهذا الجزء، لذا نتج إلى إستعمال النماذج المركبة للحصول على نموذج جيد ذي خصائص مماثلة لطبيعة البيانات المشاهدة<sup>(5)</sup>.

تنشأ التوزيعات المركبة عندما يتكون المجتمع من مجموعة من المجتمعات الجزئية  $SP_1, SP_2, \dots, SP_r$  وكل مجتمع جزئي له نسبة من المجتمع الأصلي  $w_1, w_2, \dots, w_r$  ، وان دالة التوزيع التجمعي (c.d.f) لكل مجتمع جزئي هو  $F_i(x)$  وان دالة الكثافة الاحتمالية (p.d.f) هي  $f_i(x)$  على التوالي حيث ان:  $i = 1, 2, \dots, r$

يظهر أبسط أنواع النماذج المركبة عند خلط مجتمعين جزئيين (Two Sub Populations) وكل مجتمع جزئي يمتلك أنموذج احتمالي يختلف عن الأنموذج الاحتمالي للمجتمع الجزئي الآخر.

فإذا كانت كل من  $F_1(x)$  و  $F_2(x)$  دوال توزيعية لنوعين مختلفين من التعويضات فان الدالة التوزيعية الإجمالي التعويضات تكون:

$$F(x) = w F_1(x) + (1-w) F_2(x) \quad ... (7-2)$$

إذ تعبر هذه الدالة عن الوسط المدمج لـ  $F_1(x)$  و  $F_2(x)$  بوزن هو ( $0 < w < 1$ ) ويتم تقدير ( $w$ ) كمعلمة فضلاً عن معلمات الأنموذج الكلي. إلا ان عملية التقدير تكون معقدة لذا يتم الاعتماد في تقديرها على الخبرة السابقة.

\* الرمز sp هو مختصر لـ (Sup population)



وفكرة النماذج المركبة يمكن توسيعها لأكثر من توزيعين <sup>(10)</sup> :-  
لتكن لدينا ( $r$ ) من التوزيعات وان دالة الكثافة الاحتمالية لهذه التوزيعات هي  $f_1(X), f_2(X), \dots, f_r(X)$  ، حيث

أن:  $\sum_{i=1}^r w_i = 1$  فإن دالة الكثافة الاحتمالية  $f(x)$  للتوزيع المركب هي:

$$f(x) = w_1 f_1(x) + w_2 f_2(x) + \dots + w_r f_r(x)$$

$$f(x) = \sum_{i=1}^r w_i f_i(x) \quad \dots(8-2)$$

#### 4.2: خاصية البتر في التوزيع:

يتطلب الامر أحياناً استنتاج دالة كثافة احتمالية للمتغير العشوائي ( $x$ ) تكون قيمة معرفة على جزء من فضاء العينة ( $\Omega$ ) وذلك لأسباب تتعلق بطبيعة البيانات، وهذه العملية تسمى البتر (truncation) وتؤثر في خصائص دالة الكثافة الاحتمالية، فبعد البتر سيكون الاحتمال المقترن بفضاء المتغير ( $x$ ) أقل من الواحد ( $\Pr(\Omega) < 1$ ) ، وهذا يتطلب اشتغال توزيع جديد من التوزيع الاصلي يحقق خصائص الدوال. وبعد إجراء عملية البتر في التوزيع وإشتقاق دالة الكثافة الاحتمالية الجديدة يمكن ايجاد مقاييس وعزوم ودوال توليد العزوم وغيرها دون اللجوء الى التوزيع الاصلي <sup>(4)</sup>.

#### 4.2.1: أنواع البتر (4):

##### *Upper and lower truncation*

أ- البتر من اليمين واليسار \* :

وهو الحالة العامة للبتر، ليكن لدينا متغير عشوائي  $x$  يمتلك دالة كثافة احتمالية  $f(x)$  وأن  $x \in R$  ولغرض ايجاد دالة كثافة احتمالية للمتغير  $x$  المعرف على مجموعة جزئية من فضاء العينة  $\Omega$  أي :

$$\Omega^* = \{x : a < x < b\}$$

حيث أن:

$a, b$  : عداد معرفان في  $\Omega$ .

ولتكن  $F(x)$  تمثل الدالة التجميعية للمتغير  $x$ .

حيث أن:  $c > 0$ .

فإن:

$$\begin{aligned} \int_a^b c f(x) dx &= c \int_a^b f(x) dx = c \left[ \int_{-\infty}^b f(x) dx - \int_{-\infty}^a f(x) dx \right] \\ &= c [F(b) - F(a)] \end{aligned}$$

حيث أن:

$F(b) - F(a)$  : يمثل إحتمال الفترة  $a < x < b$ .

ولكي تتحقق الدالة الجديدة المبتورة من الطرفين خصائص الدوال الاحتمالية فيجب أن يكون:

$$c \int_a^b f(x) dx = 1$$

\* البتر من اليمين يطلق عليه أيضاً (البتر من الأعلى)، كذلك البتر من اليسار يطلق عليه (البتر من الأسفل).

وعليه فإن:

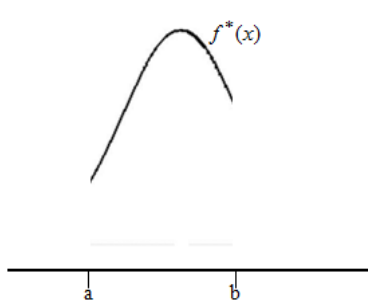
$$c[F(b) - F(a)] = 1$$

$$\therefore c = [F(b) - F(a)]^{-1}$$

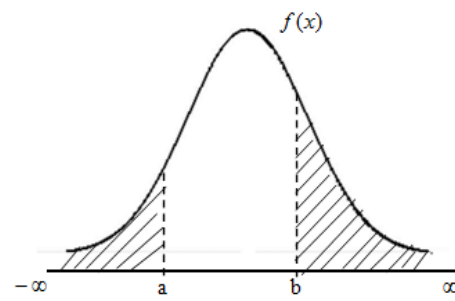
وعليه تكون الدالة الاحتمالية المبتورة من الطرفين للمتغير  $x$  كالتالي:

$$f^*(x) = [F(b) - F(a)]^{-1} \cdot f(x) \quad \dots(9-2)$$

وبهذا نجد أن الدالة الجديدة هي عبارة عن الدالة الأصلية مقسومة على إحتمال الفترة  $(b, a)$ . والشكل رقم (3-2) يوضح ذلك.



منحنى الدالة بعد إجراء البتر



منحنى الدالة قبل إجراء البتر

شكل رقم (3-2) : عملية البتر من الطرفين

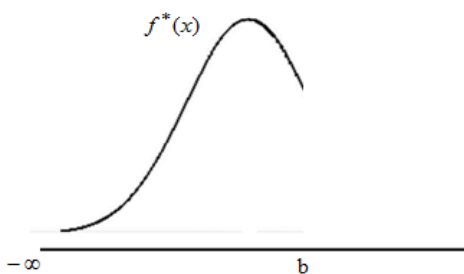
**b- البتر من الجانب الأيمن:**  
*truncation*

ليكن لدينا متغير عشوائي قيمه معروفة على الفترة  $[-\infty, b]$  ، وبالاعتماد على الحالة العامة السابقة فإن:

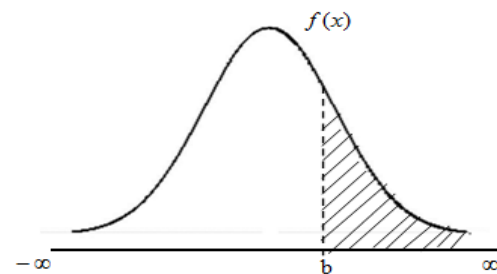
$$f^*(x) = [F(b) - F(-\infty)]^{-1} \cdot f(x) = \frac{f(x)}{F(b)} \quad \dots(10-2)$$

حيث أن  $F(-\infty) = 0$ .

والشكل رقم (4-2) يوضح ذلك.



منحنى الدالة قبل إجراء البتر من اليمين



منحنى الدالة بعد إجراء البتر من اليمين

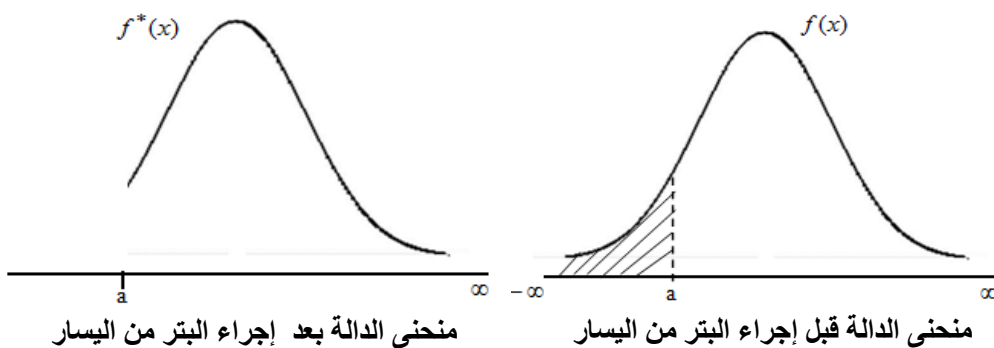
شكل رقم (4-2) : عملية البتر من الجانب الأيمن

***Lower truncation***

ليكن لدينا متغير عشوائي قيمه معرفة على الفترة  $(a, \infty)$ ، وبالإعتماد على الحالة العامة السابقة أيضاً فإن:

$$f^*(x) = [F(\infty) - F(a)]^{-1} \cdot f(x) = \frac{f(x)}{1 - F(a)} \quad \dots(11-2)$$

حيث أن  $(1) \quad F(\infty) = 1$ . والشكل رقم (5-2) يوضح ذلك.



شكل رقم (5-2) : عملية البتر من الجانب الأيسر

### 3-3: صيغ النماذج الإحتمالية المستعملة في البحث:

الأنموذجين اللذين تم إستعمالهما هما كالتالي:

أولاً: الأنموذج المنفرد هو "توزيع lognormal المبتور من الأعلى" والمحدد من اليمين بقيمة أعلى تمويض ولتكن (b)، فبتمويض معادلة (5-2) ومعادلة (6-2) في الصيغة (2-10)، فإن دالة الكثافة الإحتمالية لهذا التوزيع ستكون بالشكل الآتي:

$$f_{UTL}(x; \mu, \sigma) = \frac{\frac{1}{\sqrt{2\pi}} e^{-\frac{1}{2}\left(\frac{\ln x - \mu}{\sigma}\right)^2}}{\phi\left(\frac{\ln b - \mu}{\sigma}\right)} \quad , \quad \begin{cases} 0 < x \leq b \\ -\infty < \mu < \infty \\ \sigma > 0 \end{cases} \quad \dots(12-2)$$

where :  $i = 1, \dots, n$

حيث أن:

$f_{UTL}(x; \mu, \sigma)$  : تمثل دالة الكثافة الاحتمالية لتوزيع Lognormal المبتور من الأعلى.

n: حجم العينة الكلية.

$e^\mu$  : تمثل معلمة القياس لهذا الأنموذج.  
 $\sigma$  : تمثل معلمة الشكل.

أما الدالة التوزيعية لهذا الأنموذج فيمكن إشتقاقها بالشكل الآتي:

$$F_{UTL}(x) = \int_0^x f_{UTL}(u) du = \int_0^x \frac{f_L(u)}{F_L(b)} du = \frac{\phi\left(\frac{\ln x - \mu}{\sigma}\right)}{\phi\left(\frac{\ln b - \mu}{\sigma}\right)} \quad \dots(13-2)$$

ثانياً: الأنماذج المركب هو "توزيع ويبيل المبتور من الأعلى" (Un upper truncated compound weibull distribution) وهي توزيع ويبيل ذو المعلمتين المحدد من اليمين بنقطة البتر (a)، وبتعويض معادلة (3-2) ومعادلة (4-2) في الصيغة (2-10) فإن دالة الكثافة الإحتمالية له ستكون بالشكل الآتي:

$$f_{UTW(2p)}(x_i; \theta, \gamma) = \frac{\theta \left(\frac{x_i}{\gamma}\right)^{\theta-1} \cdot e^{-\left(\frac{x_i}{\gamma}\right)^\theta}}{1 - e^{-\left(\frac{a}{\gamma}\right)^\theta}} ; \quad \begin{cases} 0 < x_i \leq a \\ \theta > 0 \\ \gamma > 0 \end{cases} \quad \dots(14-2)$$

where :  $i = 1, \dots, m$

حيث أن:

$\theta$ : تمثل معلمة الشكل (Shape parameter).

$\gamma$ : تمثل معلمة القياس (Scale parameter).

$a$ : تمثل نقطة البتر بين جزئي الأنماذج المركب أو (بين جزئي العينة).

$m$ : حجم الجزء الأول من العينة.

$f_{UTW(2p)}(x_i; \theta, \gamma)$ : تمثل دالة الكثافة الاحتمالية لتوزيع ويبيل ذو المعلمتين المبتور من الأعلى.

الجزء الثاني: هو توزيع ويبيل ذو الثلاث معلمات المحدد من اليمين أيضاً بقيمة أعلى تعويض (b)، وبتعويض معادلة (2-1) ومعادلة (2-2) في الصيغة (2-10) فإن دالة الكثافة الإحتمالية له ستكون بالشكل الآتي:

$$f_{UTW(3p)}(x_i; \alpha, \beta, \lambda) = \frac{\alpha \left(\frac{x_i - \beta}{\lambda}\right)^{\alpha-1} \cdot e^{-\left(\frac{x_i - \beta}{\lambda}\right)^\alpha}}{1 - e^{-\left(\frac{b - \beta}{\lambda}\right)^\alpha}} ; \quad \begin{cases} \beta = a < x_i \leq b \\ \alpha > 0 \\ \lambda > 0 \\ \beta \geq 0 \end{cases} \quad \dots(15-2)$$

where :  $i = m + 1, \dots, n$

حيث أن:

$\alpha$ : تمثل معلمة الشكل (Shape parameter).

$\beta$ : تمثل معلمة القياس (Scale parameter).

$\lambda$ : تمثل معلمة الموضع (Location parameter).

$b$ : تمثل نقطة البتر من الأعلى (قيمة أعلى تعويض).

$f_{UTW(3p)}(x_i; \alpha, \beta, \lambda)$ : تمثل دالة الكثافة الاحتمالية لتوزيع ويبيل ذو ثلاثة معلمات المبتور من الأعلى.

وبتضمين معلمة الخلط ( $w$ ) التي تمثل نسبة مساهمة كل جزء في دالة التوزيع المركب، فإن دالة الكثافة الإحتمالية له تكون بالشكل الآتي:

$$f_{UTCW}(x_i; \theta, \gamma, \alpha, \lambda) = \begin{cases} w * \frac{\theta \left(\frac{x_i}{\gamma}\right)^{\theta-1} \cdot e^{-\left(\frac{x_i}{\gamma}\right)^\theta}}{1 - e^{-\left(\frac{a}{\gamma}\right)^\theta}}, & \text{if } 0 < x_i \leq a \\ (1-w) * \frac{\alpha \left(\frac{x_i-a}{\lambda}\right)^{\alpha-1} \cdot e^{-\left(\frac{x_i-a}{\lambda}\right)^\alpha}}{1 - e^{-\left(\frac{b-a}{\lambda}\right)^\alpha}}, & \text{if } a < x_i \leq b \end{cases} \quad \dots(16-2)$$

حيث أن:

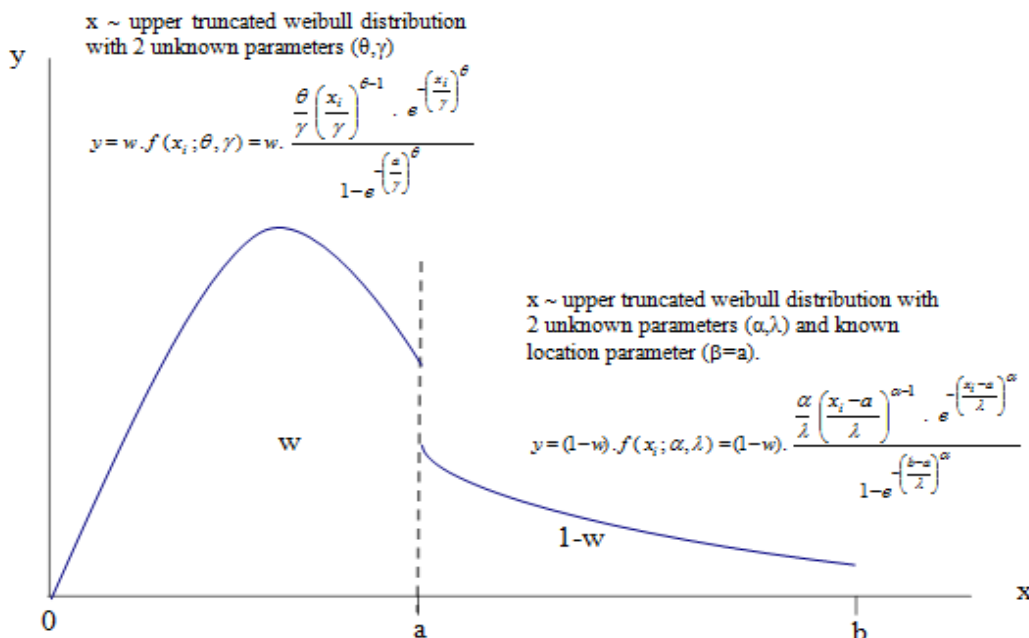
$f_{UTCW}(x_i; \theta, \gamma, \alpha, \lambda)$  : تمثل دالة الكثافة الإحتمالية للتوزيع ويبيل المركب المبتور.

$0 < w < 1$  :  $w$

أما الدالة التوزيعية لهذا الأنموذج المركب فهي:

$$F_{UTCW}(x) = \begin{cases} \frac{w}{F_{w(2p)}(a)} \cdot F_{w(2p)}(x), & 0 < x \leq a \\ w + \frac{(1-w)}{F_{w(3p)}(b)} [F_{w(3p)}(x) - F_{w(3p)}(a)], & a < x \leq b \end{cases} \quad \dots(17-2)$$

والشكل رقم (6-2) يوضح فكرة هذا الأنموذج.



شكل رقم (6-2): يوضح فكرة أنموذج ويبيل المركب المبتور

#### 4-2: الطريقة المستعملة في عملية تقدير المعلمات:

سنعتمد في عملية تقدير معلمات النماذج المستعملة في البحث على طريقة الامكان الاعظم (Maximum Likelihood Method) فقط؛ وذلك لكونها من الطرق المفضلة حيث تتصف بخاصية عدم التغير (invariant property) إضافة الى عدد من الخواص الاحصائية المميزة وهي:

1. مقدرات الامكان الاعظم تكون متسقة (consistent).
2. مقدرات الامكان الاعظم تكون غير متحيزة (asymptotically unbiased) على الرغم من أنها قد تكون متحيزة (biased) في العينات المحدودة.
3. مقدرات الامكان الاعظم تكون كفؤة (asymptotically efficient).
4. مقدرات الامكان الاعظم تتصف بخاصية الكفاية (sufficient property).
5. مقدرات الامكان الاعظم تكون (asymptotically normally) <sup>(22)</sup>.

وتعتبر طريقة الامكان الاعظم من اهم طرائق التقدير النقاطية وأكثرها استعمالاً لتقدير معلمات النماذج، وقد اقترحها العالم الاحصائي الشهير (Fisher) عام 1920، اذ تفترض ان المعلمة المراد تقاديرها لمجتمع معين هي كمية غير معروفة تقدر في ضوء معطيات العينة.  
إن إستعمال هذه الطريقة في معظم الحالات يؤدي الى تكوين معادلات طبيعية غير خطية والتي يتطلب ايجاد قيم جذورها إستعمال احدى الطرائق التكرارية مثل طريقة (نيوتون- رافسون).  
ان فكرة طريقة الامكان الاعظم في التقدير تعتمد اساساً على ايجاد دالة الامكان (Likelihood Function) للتوزيع المستعمل (سواء أكان انموذج منفرد أم مركب) ثم يؤخذ التفاضل الجزئي لدالة الامكان الأعظم بالنسبة للمعلمات المراد تقاديرها.

$$\frac{dL(x; \theta_G, \theta_H)}{d\theta_G} = 0, \quad \frac{dL(x; \theta_G, \theta_H)}{d\theta_H} = 0$$

حيث ان:

$\theta_G$  : تمثل معلمات التوزيع الاول  $g(x; \theta_G)$ .

$\theta_H$  : تمثل معلمات التوزيع الثاني  $h(x; \theta_H)$ .

عندما يقال ان  $\hat{\theta}_G$  و  $\hat{\theta}_H$  بانهما مقدرات الامكان الاعظم للمعلمة  $\theta_G$  و  $\theta_H$  على التوالي. وبما ان قيمة المعلم  $\theta_G$  و  $\theta_H$  التي يجعل دالة الامكان اكبر ما يمكن هي نفسها التي يجعل  $\log L$  اكبر ما يمكن. عندئذ تحل المعادلات الآتية:-

$$\frac{d \ln L(x; \theta_G, \theta_H)}{d\theta_G} = 0, \quad \frac{d \ln L(x; \theta_G, \theta_H)}{d\theta_H} = 0$$

عوضاً عن المعادلات السابقة لحساب تقدير المعلم المسهولة الحل.



## ٤-٢: إستفاذ مقدرات الامكان الاعظم لمعلمتي توزيع Lognormal المبتور من الاعلى:

بالاعتماد على المعادلة رقم (12-2) :

$$f_{UTL}(x_i; \mu, \sigma) = \frac{f(x_i; \mu, \sigma)}{F(b)} = \frac{\frac{1}{\sqrt{2\pi}} \sigma x}{\phi\left(\frac{\ln b - \mu}{\sigma}\right)} ; \quad \begin{cases} 0 < x < b \\ -\infty < \mu < \infty \\ \sigma > 0 \end{cases}$$

where :  $i = 1, \dots, n$ 

ولإيجاد مقدرات الامكان الاعظم لهذا الاموزج فإن:

$$\begin{aligned} L &= \prod_{i=1}^n f_{UTL}(X_i; \mu, \sigma) = \prod_{i=1}^n \left[ \frac{\frac{1}{\sqrt{2\pi}} \sigma X}{\phi\left(\frac{\ln b - \mu}{\sigma}\right)} \right] \\ L &= (2\pi)^{-\frac{n}{2}} \cdot \sigma^{-n} \cdot \prod_{i=1}^n X_i \cdot e^{-\frac{1}{2} \sum_{i=1}^n (\ln X_i - \mu)^2} \cdot \left[ \phi\left(\frac{\ln b - \mu}{\sigma}\right) \right]^{-n} \end{aligned} \quad \dots(18-2)$$

وبأخذ اللوغاريتم للطرفين:

$$\ln L = \frac{-n}{2} \cdot \ln(2\pi) - n \ln \sigma + \sum_{i=1}^n \ln X_i - \frac{1}{2\sigma^2} \sum_{i=1}^n (\ln X_i - \mu)^2 - n \cdot \ln \phi\left(\frac{\ln b - \mu}{\sigma}\right) \quad \dots(19-2)$$

وبأخذ المشتقية الأولى لدالة لوغاريتيم الامكان الاعظم بالنسبة لكل معلمة من المعلمتين  $\mu$  و  $\sigma$  ومساواتها الى الصفر، نحصل على:

$$\hat{\mu} = \frac{\sum \ln X_i}{n} + \hat{\sigma} \quad \dots(20-2)$$

$$\hat{\sigma}^2 = \frac{\sum_{i=1}^n (\ln X_i - \hat{\mu})^2}{n} + \left( \hat{\mu} - \frac{\sum_{i=1}^n \ln X_i}{n} \right) (\ln b - \hat{\mu}) \quad \dots(21-2)$$

وبما اننا لا نستطيع إيجاد المقدرات للمعلمات  $(\mu, \sigma)$  لصعوبة حل هذه المعادلات الغير خطية. لذا ننجز الى الطرق التكرارية في التحليل العددي. مثل طريقة نيوتن- رافسون (Newton-Raphson).

#### 2-4-2: تقدير المعلمات للأنموذج المركب:

"في الحالات التي يكون اهتمامنا منصبًا على توفيق الجزء الأخير من البيانات حيث يكون لدينا الكثير من الخسارات الصغيرة والقليل من الخسارات الكبيرة فيمكننا الاكتفاء بالتوزيع الفعلي في تمثيل جزء الخسارات الصغيرة واستعمال أحد النماذج المعلمية ذات النهاية البطيئة في تمثيل الجزء الأخير حيث يتم تفسيره على أساس كونه ذا ازاحة باتجاه اليمين أي إنه لا يبدأ من الصفر (Origin point) بل من نقطة قطع معينة"<sup>(11)</sup>. لذا سنعتمد في ايجاد التقديرات لمعلمات الأنموذج المركب على الأسلوب الآتي:-

نفرض ان لدينا عينة من المشاهدات المستقلة  $x_1, x_2, \dots, x_n$  ، حيث يستند هذا الاسلوب على تجزئة التوزيع الكلي بنقطة تجزئة معينة ولتكن (a) حيث ان  $x_1, x_2, \dots, x_m \leq a < x_{m+1}, \dots, x_n$  الى جزئين باستعمال دالتين مختلفتين تكونان الدالة الاحتمالية للتوزيع الشامل بالشكل الآتي:

$$f(x_i ; \theta_G, \theta_H, w) = \begin{cases} w \cdot g(x_i ; \theta_G) & 0 < x_i \leq a \\ (1-w) \cdot h(x_i ; \theta_H) & a < x_i \leq b \\ 0 & \text{o.w} \end{cases} \quad \dots(22-2)$$

حيث ان  $b$  تمثل قيمة أعلى تعويض ضمن العينة.  
وعليه فإن دالة الامكان الأعظم ستكون بالشكل الآتي<sup>(12)</sup>:

$$\begin{aligned} \ln L(\theta_G, \theta_H, w) &= \sum_{i=1}^n \ln f(X_i ; \theta_G, \theta_H, w) \\ &= \sum_{i=1}^m \ln \left\{ \frac{w}{G(a ; \theta_G)} \cdot g(X_i ; \theta_G) \right\} + \sum_{i=m+1}^n \ln \left\{ \left( \frac{1-w}{H(b ; \theta_H) - H(a ; \theta_H)} \right) \cdot h(X_i ; \theta_H) \right\} \quad \dots(23-2) \end{aligned}$$

$$\begin{aligned} &= m \cdot \ln w + (n-m) \cdot \ln (1-w) \\ &+ \sum_{i=1}^m \ln g(X_i ; \theta_G) - m \cdot \ln G(a ; \theta_G) \\ &+ \sum_{i=m+1}^n \ln h(X_i ; \theta_H) - (n-m) \cdot \ln (H(b ; \theta_H) - H(a ; \theta_H)) \quad \dots(24-2) \end{aligned}$$

وحيث ان دالة الامكان الأعظم [معادلة (24-2)] أصبحت تتكون من ثلاثة أجزاء كل منها لا يعتمد على الآخر لذا فإن تقديرات الامكان الأعظم لكل من المعلمات  $w$ ،  $\theta_H$ ،  $\theta_G$  تعتمد على هذه الأجزاء الثلاثة فقط وبالتالي. أي ان تقدير الامكان الأعظم لمعلمة الخلط  $w$  ستكون ( $m/n$ )، أما تقديرات الامكان الأعظم بالنسبة للمعلمات  $\theta_H$ ،  $\theta_G$  فيمكن ايجادها بشكل مستقل من الاجزاء  $x_1, x_2, \dots, x_m$  ،  $x_{m+1}, x_2, \dots, x_n$  على التوالي.

**1.2.4.2 : إستفاق مقدرات الامكان الأعظم للجزء الاول من العينة الكلية والذي يتبع توزيع Weibull ذو المعلمتين المبتور من الأعلى:**

$$f_{UTW(2p)}(x_i; \theta, \gamma) = \frac{\frac{\theta}{\gamma} \left(\frac{x_i}{\gamma}\right)^{\theta-1} \cdot e^{-\left(\frac{x_i}{\gamma}\right)^\theta}}{1 - e^{-\left(\frac{a}{\gamma}\right)^\theta}}, \quad \begin{cases} 0 < x_i \leq a \\ \theta > 0 \\ \gamma > 0 \end{cases}$$

المعادلة رقم (14-2) بالإعتماد على

وإيجاد مقدرات الامكان الاعظم لهذا الأنماذج فإن:

$$L = \prod_{i=1}^m f_{UTW(2p)}(x_i; \theta, \gamma) = \prod_{i=1}^m \left[ \frac{\frac{\theta}{\gamma} \left(\frac{x_i}{\gamma}\right)^{\theta-1} \cdot e^{-\left(\frac{x_i}{\gamma}\right)^\theta}}{1 - e^{-\left(\frac{a}{\gamma}\right)^\theta}} \right]$$

$$L = \left( \frac{\theta}{\gamma} \right)^m \cdot \prod_{i=1}^m \left[ \left( \frac{x_i}{\gamma} \right)^{\theta-1} \cdot e^{-\sum_{i=1}^m \left( \frac{x_i}{\gamma} \right)^{\theta-1}} \cdot (1 - e^{-\left( \frac{a}{\gamma} \right)^\theta})^{-m} \right] \quad \dots(25-2)$$

وبأخذ اللوغاريتم لدالة الامكان الأعظم:

$$\ln L = m \ln \theta - m \ln \gamma + \theta \sum_{i=1}^m \ln(x_i) - \theta \sum_{i=1}^m \ln \gamma - \sum_{i=1}^m \ln(x_i) + \sum_{i=1}^m \ln \gamma - \sum_{i=1}^m \left( \frac{x_i}{\gamma} \right)^\theta - m \ln \left( 1 - e^{-\left( \frac{a}{\gamma} \right)^\theta} \right) \quad \dots(26-2)$$

وبأخذ المشتقه الجزئية الأولى لوجاريتم الامكان الاعظم بالنسبة لكل معلمة من المعلمتين  $\gamma$  و  $\theta$  ومساواتها الى الصفر، نحصل على:

$$\hat{\theta} = \frac{m}{\sum_{i=1}^m \ln \left( \frac{x_i}{\hat{\gamma}} \right) \left[ \left( \frac{x_i}{\hat{\gamma}} \right)^{\hat{\theta}} - 1 \right]} + \frac{1 - e^{-\left( \frac{a}{\hat{\gamma}} \right)^{\hat{\theta}}}}{e^{-\left( \frac{a}{\hat{\gamma}} \right)^{\hat{\theta}}} \cdot \left( \frac{a}{\hat{\gamma}} \right)^{\hat{\theta}} \cdot \ln \left( \frac{a}{\hat{\gamma}} \right)} \quad \dots(27-2)$$



$$\hat{\gamma} = \left[ \frac{e^{\left(\frac{a}{\hat{\gamma}}\right)^{\hat{\theta}}} - 1}{e^{\left(\frac{a}{\hat{\gamma}}\right)^{\hat{\theta}}} - 1 - \left(\frac{a}{\hat{\gamma}}\right)^{\hat{\theta}}} \cdot \frac{\sum_{i=1}^m (x_i)^{\hat{\theta}}}{m} \right]^{\frac{1}{\hat{\theta}}} \quad ....(28-2)$$

وبما اننا لا نستطيع ايجاد المقدرات للمعلمتين ( $\gamma$  ،  $\theta$ ) لصعوبة حل هذه المعادلات الغير خطية،  
لذا نلجأ الى الطرق التكرارية في التحليل العددي أيضاً.

إن خطوات طريقة نيوتن - رافسون لهذا الجزء تتلخص بما يلي:

$$\begin{bmatrix} \theta_{k+1} \\ \gamma_{k+1} \end{bmatrix} = \begin{bmatrix} \theta_k \\ \gamma_k \end{bmatrix} - J_{ki}^{-1} \begin{bmatrix} g_1(\theta) \\ g_2(\gamma) \end{bmatrix}, \quad i=1,2 \quad ....(29-2)$$

وإيجاد القيم الأولية لـ ( $\theta_k$  و  $\gamma_k$ ) تم استعمال قيم تقديرات هاتين المعلمتين الناتجة من برنامج —  
أيضاً كقيم أولية نعتمد عليها في إيجاد تقديرات الإمكان الأعظم لهما. (Easy Fit)

وإن الدالتين:

$g_1(\theta)$  : تمثل المشتقة الأولى للوغاريتم دالة الإمكان الأعظم بالنسبة للمعلمة  $\theta$  ،

$g_2(\gamma)$  : تمثل المشتقة الأولى للوغاريتم دالة الإمكان الأعظم بالنسبة للمعلمة  $\gamma$  ،

$$g_1(\theta) = \frac{m}{\theta} + \sum_{i=1}^m \ln\left(\frac{x_i}{\gamma}\right) - \sum_{i=1}^m \left(\frac{x_i}{\gamma}\right)^\theta \ln\left(\frac{x_i}{\gamma}\right) - \frac{m}{e^{-\left(\frac{a}{\gamma}\right)^\theta}} \cdot \left[ e^{-\left(\frac{a}{\gamma}\right)^\theta} \cdot \left(\frac{a}{\gamma}\right)^\theta \cdot \ln\left(\frac{a}{\gamma}\right) \right]$$

$$g_2(\gamma) = \frac{\theta}{\gamma} \left[ -m + \sum_{i=1}^m \left(\frac{x_i}{\gamma}\right)^\theta + \frac{m}{e^{-\left(\frac{a}{\gamma}\right)^\theta}} \cdot \left( \left(\frac{a}{\gamma}\right)^\theta \cdot e^{-\left(\frac{a}{\gamma}\right)^\theta} \right) \right]$$

أما مصفوفة  $J_{k1}$  فهي عبارة عن مصفوفة عناصرها هي المشتقة الجزئية الأولى لكل من الدوال  $g_1(\theta)$  و  $g_2(\gamma)$  بالنسبة للمعلمات  $(\theta \text{ و } \gamma)$ . أو هي مصفوفة عناصرها هي المشتقة الجزئية الثانية للوغاريتم دالة الإمكان الأعظم بالنسبة للمعلمات  $(\theta \text{ و } \gamma)$ . أي ان:

$$J_{k1} = \begin{bmatrix} \frac{\partial g_1(\theta)}{\partial \theta} & \frac{\partial g_1(\theta)}{\partial \gamma} \\ \frac{\partial g_2(\gamma)}{\partial \theta} & \frac{\partial g_2(\gamma)}{\partial \gamma} \end{bmatrix} = \begin{bmatrix} \frac{\partial^2 \ln L}{\partial \theta^2} & \frac{\partial^2 \ln L}{\partial \theta \partial \gamma} \\ \frac{\partial^2 \ln L}{\partial \gamma \partial \theta} & \frac{\partial^2 \ln L}{\partial \gamma^2} \end{bmatrix} \quad ....(30-2)$$

حيث أن :

$$\frac{\partial g_1(\theta)}{\partial \theta} = \frac{-m}{\theta^2} - \sum_{i=1}^m \left( \frac{x_i}{\gamma} \right)^\theta \cdot \left[ \ln \left( \frac{x_i}{\gamma} \right) \right]^2 - \frac{m \cdot e^{-\left(\frac{a}{\gamma}\right)^\theta} \cdot \left(\frac{a}{\gamma}\right)^\theta \cdot \ln \left(\frac{a}{\gamma}\right)}{1 - e^{-\left(\frac{a}{\gamma}\right)^\theta}} \cdot \left\{ \ln \left( \frac{a}{\gamma} \right) \cdot \left( 1 - \left( \frac{a}{\gamma} \right)^\theta \right) - \frac{e^{-\left(\frac{a}{\gamma}\right)^\theta} \cdot \left(\frac{a}{\gamma}\right)^\theta \cdot \ln \left(\frac{a}{\gamma}\right)}{1 - e^{-\left(\frac{a}{\gamma}\right)^\theta}} \right\} \quad ....(31-2)$$

$$\frac{\partial g_1(\theta)}{\partial \gamma} = \frac{1}{\gamma} \left[ -m + \sum_{i=1}^m \left( \frac{x_i}{\gamma} \right)^\theta \cdot \left[ 1 + \theta \cdot \ln \left( \frac{x_i}{\gamma} \right) \right] \right] + \frac{\frac{m}{\gamma} \cdot e^{-\left(\frac{a}{\gamma}\right)^\theta} \cdot \left(\frac{a}{\gamma}\right)^\theta}{1 - e^{-\left(\frac{a}{\gamma}\right)^\theta}} \cdot \left[ 1 + \theta \cdot \ln \left( \frac{a}{\gamma} \right) \cdot \left[ 1 - \left( \frac{a}{\gamma} \right)^\theta + \frac{e^{-\left(\frac{a}{\gamma}\right)^\theta} \left(\frac{a}{\gamma}\right)^\theta}{1 - e^{-\left(\frac{a}{\gamma}\right)^\theta}} \right] \right] \quad ....(32-2)$$

$$\frac{\partial g_2(\gamma)}{\partial \gamma} = \frac{m \cdot \theta}{\gamma^2} - \frac{\theta}{\gamma^2} \sum_{i=1}^m \left( \frac{x_i}{\gamma} \right)^\theta \cdot [\theta + 1]$$

$$+ \frac{\frac{m \cdot \theta}{\gamma^2} \cdot e^{-\left(\frac{a}{\gamma}\right)^\theta} \cdot \left(\frac{a}{\gamma}\right)^\theta}{1 - e^{-\left(\frac{a}{\gamma}\right)^\theta}} \cdot \left[ \theta \cdot \left[ \left( \frac{a}{\gamma} \right)^\theta - 1 \right] + \frac{\theta e^{-\left(\frac{a}{\gamma}\right)^\theta} \cdot \left(\frac{a}{\gamma}\right)^\theta}{1 - e^{-\left(\frac{a}{\gamma}\right)^\theta}} - 1 \right] \quad ....(33-2)$$

**2.2.4.2: إستفاق مقدرات الإمكان الأعظم للجزء الثاني من العينة الكلية والتي تتبع توزيع Weibull ذو الثلاث معلمات المبتور من الأعلى:**

بالإعتماد على معادلة (15-2) :

$$f_{UTW(3p)}(x_i; \alpha, \beta, \lambda) = \frac{\frac{\alpha}{\lambda} \left(\frac{x_i - \beta}{\lambda}\right)^{\alpha-1} \cdot e^{-\left(\frac{x_i - \beta}{\lambda}\right)^\alpha}}{1 - e^{-\left(\frac{b - \beta}{\lambda}\right)^\alpha}}, \quad \begin{cases} a < x_i \leq b \\ \alpha > 0 \\ \lambda > 0 \\ \beta \geq 0 \end{cases}$$

فإن دالة الإمكان الأعظم تكون كالتالي:

$$L = \prod_{i=m+1}^n f_{UTW(3p)}(x_i; \alpha, \beta, \lambda) = \prod_{i=m+1}^n \left[ \frac{\frac{\alpha}{\lambda} \left(\frac{x_i - \beta}{\lambda}\right)^{\alpha-1} \cdot e^{-\left(\frac{x_i - \beta}{\lambda}\right)^\alpha}}{1 - e^{-\left(\frac{b - \beta}{\lambda}\right)^\alpha}} \right]$$

$$L = \left(\frac{\alpha}{\lambda}\right)^{n-m} \cdot \prod_{i=m+1}^n \left[ \left(\frac{x_i - \beta}{\lambda}\right)^{\alpha-1} \cdot e^{-\sum_{i=m+1}^n \left(\frac{x_i - \beta}{\lambda}\right)^\alpha} \cdot (1 - e^{-\left(\frac{b - \beta}{\lambda}\right)^\alpha})^{-(n-m)} \right] \quad \dots(34-2)$$

وبأخذ اللوغاريتم لدالة الإمكان الأعظم نحصل على:

$$\ln L = (n-m) \ln \left(\frac{\alpha}{\lambda}\right) + (\alpha-1) \sum_{i=m+1}^n \ln \left(\frac{x_i - \beta}{\lambda}\right) - \sum_{i=m+1}^n \left(\frac{x_i - \beta}{\lambda}\right)^\alpha - (n-m) \ln \left(1 - e^{-\left(\frac{b - \beta}{\lambda}\right)^\alpha}\right) \quad \dots(35-2)$$

وعلى فرض معلومة معلمة الموقع \* ( $\beta = a = 500000$ ) حيث أن (a) هي نقطة البتر ما بين الجزء الأول والجزء الثاني للعينة، وبأخذ المشتقه الجزئية الأولى لлогاريتم الإمكان الأعظم بالنسبة لكل معلمة من المعلمات  $\lambda$  و  $\alpha$  ومساوياتها إلى الصفر، نحصل على صيغ مقدرات الإمكان الأعظم لمعلمتي الشكل والقياس للجزء الثاني من العينة وكالتالي:

بالنسبة للمعلمة  $\alpha$  :

$$\hat{\alpha} = \frac{(n-m)}{\sum_{i=m+1}^n \ln \left(\frac{x_i - \hat{\beta}}{\hat{\lambda}}\right) \left[ \left(\frac{x_i - \hat{\beta}}{\hat{\lambda}}\right)^{\hat{\alpha}} - 1 \right]} + \frac{1 - e^{-\left(\frac{b - \hat{\beta}}{\hat{\lambda}}\right)^{\hat{\alpha}}}}{e^{-\left(\frac{b - \hat{\beta}}{\hat{\lambda}}\right)^{\hat{\alpha}}} \cdot \left(\frac{b - \hat{\beta}}{\hat{\lambda}}\right)^{\hat{\alpha}} \cdot \ln \left(\frac{b - \hat{\beta}}{\hat{\lambda}}\right)} \quad \dots(36-2)$$

\* تم تقسيم عينة البحث الكلية إلى عينتين جزئيتين بنقطة تجزئة محددة ومعلومة وهي (a=500000)، كذلك ظهر من خلال استعمال برنامج (Easy Fit) للكشف عن توزيع الجزء الثاني من عينة البحث والذي هو "توزيع Weibull ذو الثلاث معلمات" بأن قراءة قيمة معلمة الموقع هي ( $\beta=500000$ ).

أما بالنسبة للمعلمة  $\lambda$  :

$$\hat{\lambda} = \left[ \frac{e^{\left(\frac{b-\hat{\beta}}{\hat{\lambda}}\right)^{\hat{\alpha}}} - 1}{e^{\left(\frac{b-\hat{\beta}}{\hat{\lambda}}\right)^{\hat{\alpha}}} - 1 - \left(\frac{b-\hat{\beta}}{\hat{\lambda}}\right)^{\hat{\alpha}}} \cdot \frac{\sum_{i=m+1}^n (x_i - \hat{\beta})^{\hat{\alpha}}}{n-m} \right]^{\frac{1}{\hat{\alpha}}} \quad \dots(37-2)$$

ولإيجاد المقدرات للمعلمتين  $(\lambda, \alpha)$  نلجأ إلى الطرق التكرارية في التحليل العددي أيضاً.  
إن طريقة نيوتن - رافسون تتطلب قيم أولية للمعلمتين الغير معلومتين  $(\lambda, \alpha)$ .  
وخطوات طريقة نيوتن - رافسون لهذا الجزء ستكون كالتالي:

$$\begin{bmatrix} \alpha_{k+1} \\ \lambda_{k+1} \end{bmatrix} = \begin{bmatrix} \alpha_k \\ \lambda_k \end{bmatrix} - J_{ki}^{-1} \begin{bmatrix} f_1(\alpha) \\ f_2(\lambda) \end{bmatrix}, \quad i=1,2 \quad \dots(38-2)$$

ولإيجاد القيم الأولية لـ  $(\alpha_k$  و  $\lambda_k)$ ، تم استعمال قيم تقديرات هاتين المعلمتين الناتجة من برنامج — (Easy Fit) أيضًا كقيم أولية نعتمد عليها في إيجاد تقديرات الإمكانيات الأعظم لهما.  
وان الدالتين:

$f_1(\alpha)$  : تمثل المشتقة الأولى للوغاريتيم دالة الإمكانيات الأعظم بالنسبة للمعلمة  $\alpha$  ،

$f_2(\lambda)$  : تمثل المشتقة الأولى للوغاريتيم دالة الإمكانيات الأعظم بالنسبة للمعلمة  $\lambda$  ،

$$f_1(\alpha) = \frac{(n-m)}{\alpha} + \sum_{i=m+1}^n \ln\left(\frac{x_i - \beta}{\lambda}\right) - \sum_{i=m+1}^n \left(\frac{x_i - \beta}{\lambda}\right)^\alpha \ln\left(\frac{x_i - \beta}{\lambda}\right)$$

$$- \frac{(n-m)}{1 - e^{-\left(\frac{b-\beta}{\lambda}\right)^\alpha}} \cdot \left[ e^{-\left(\frac{b-\beta}{\lambda}\right)^\alpha} \left( \frac{b-\beta}{\lambda} \right)^\alpha \cdot \ln\left(\frac{b-\beta}{\lambda}\right) \right]$$

$$f_2(\lambda) = \frac{\alpha}{\lambda} \left[ -(n-m) + \sum_{i=m+1}^n \left( \frac{x_i - \beta}{\lambda} \right)^\alpha + \frac{(n-m)}{1 - e^{-\left(\frac{b-\beta}{\lambda}\right)^\alpha}} \cdot \left( \left( \frac{b-\beta}{\lambda} \right)^\alpha \cdot e^{-\left(\frac{b-\beta}{\lambda}\right)^\alpha} \right) \right]$$



أما مصفوفة (Jacobean matrix)  $J_{ki}$  فستكون كالتالي:

$$J_{k1} = \begin{bmatrix} \frac{\partial f_1(\alpha)}{\partial \alpha} & \frac{\partial f_1(\alpha)}{\partial \lambda} \\ \frac{\partial f_2(\lambda)}{\partial \alpha} & \frac{\partial f_2(\lambda)}{\partial \lambda} \end{bmatrix} = \begin{bmatrix} \frac{\partial^2 \ln L}{\partial \alpha^2} & \frac{\partial^2 \ln L}{\partial \alpha \partial \lambda} \\ \frac{\partial^2 \ln L}{\partial \lambda \partial \alpha} & \frac{\partial^2 \ln L}{\partial \lambda^2} \end{bmatrix} \quad \dots(39-2)$$

حيث أن:

$$\frac{\partial f_1(\alpha)}{\partial \alpha} = \frac{-(n-m)}{\alpha^2} - \sum_{i=m+1}^n \left( \frac{x_i - \beta}{\lambda} \right)^\alpha \cdot \left[ \ln \left( \frac{x_i - \beta}{\lambda} \right) \right]^2 - \frac{(n-m) \cdot e^{-\left(\frac{b-\beta}{\lambda}\right)^\alpha} \cdot \left(\frac{b-\beta}{\lambda}\right)^\alpha \cdot \ln \left( \frac{b-\beta}{\lambda} \right)}{1 - e^{-\left(\frac{b-\beta}{\lambda}\right)^\alpha}} \cdot \left\{ \ln \left( \frac{b-\beta}{\lambda} \right) \cdot \left( 1 - \left( \frac{b-\beta}{\lambda} \right)^\alpha \right) - \frac{e^{-\left(\frac{b-\beta}{\lambda}\right)^\alpha} \cdot \left(\frac{b-\beta}{\lambda}\right)^\alpha \cdot \ln \left( \frac{b-\beta}{\lambda} \right)}{1 - e^{-\left(\frac{b-\beta}{\lambda}\right)^\alpha}} \dots(40-2) \right\}$$

$$\frac{\partial f_1(\alpha)}{\partial \lambda} = \frac{1}{\lambda} \left[ -(n-m) + \sum_{i=m+1}^n \left( \frac{x_i - \beta}{\lambda} \right)^\alpha \cdot \left[ 1 + \alpha \cdot \ln \left( \frac{x_i - \beta}{\lambda} \right) \right] \right] + \frac{\frac{(n-m)}{\lambda} \cdot e^{-\left(\frac{b-\beta}{\lambda}\right)^\alpha} \cdot \left(\frac{b-\beta}{\lambda}\right)^\alpha}{1 - e^{-\left(\frac{b-\beta}{\lambda}\right)^\alpha}} \cdot \left[ 1 + \alpha \ln \left( \frac{b-\beta}{\lambda} \right) \cdot \left[ 1 - \left( \frac{b-\beta}{\lambda} \right)^\alpha + \frac{e^{-\left(\frac{b-\beta}{\lambda}\right)^\alpha} \cdot \left(\frac{b-\beta}{\lambda}\right)^\alpha}{1 - e^{-\left(\frac{b-\beta}{\lambda}\right)^\alpha}} \dots(41-2) \right] \right]$$

كذلك:

$$\frac{\partial f_2(\lambda)}{\partial \lambda} = \frac{(n-m)\alpha}{\lambda^2} - \frac{\alpha}{\lambda^2} \sum_{i=m+1}^n \left( \frac{x_i - \beta}{\lambda} \right)^\alpha \cdot [\alpha + 1] + \frac{\frac{(n-m)\alpha}{\lambda^2} \cdot e^{-\left(\frac{b-\beta}{\lambda}\right)^\alpha} \cdot \left(\frac{b-\beta}{\lambda}\right)^\alpha}{1 - e^{-\left(\frac{b-\beta}{\lambda}\right)^\alpha}} \cdot \left[ \alpha \left[ \left( \frac{b-\beta}{\lambda} \right)^\alpha - 1 \right] + \frac{\alpha e^{-\left(\frac{b-\beta}{\lambda}\right)^\alpha} \cdot \left(\frac{b-\beta}{\lambda}\right)^\alpha}{1 - e^{-\left(\frac{b-\beta}{\lambda}\right)^\alpha}} \dots(42-2) \right]$$



## ٥.٢: أسلوب المقارنة بين الأنماذج المنفرد المبتور والأنماذج المركب المبتور:

تم المقارنة ما بين الأنماذج المستعملين باستعمال المقياس الإحصائي متوازن مربعات الخطأ (MSE) الذي يعرف بأنه "متوازن مربعات الفروق ما بين القيم الحقيقة والقيم التقديرية"، فالأنماذج الذي يمتلك أقل قيمة لـ (MSE) يكون هو الأفضل في تمثيل هذه التعويضات وفق الصيغة الآتية:

$$MSE(\hat{F}(x)) = \frac{1}{L} \sum_{i=1}^L (\hat{F}(x_i) - F(x_i))^2 \quad \dots(43-2)$$

حيث أن:

L: عدد قيم التعويضات.

( $F(x_i)$  : قيمة التكرار التجمعي الفعلي لقيمة التعويض  $i$ .

( $\hat{F}(x_i)$  : قيمة التكرار التجمعي النظري لقيمة التعويض  $i$ .

ض تم خلال عام (2011).

## المبحث الثالث/ الجانب التطبيقي

### ١.٣: المقدمة :

يتضمن هذا الفصل عرض ووصف البيانات الخاصة بالتأمين الصحي في شركة التأمين العراقي، وتوضيح كيفية الوصول إلى النماذج المستعملة في البحث من خلال الاستعانة ببرنامج (Easy Fit) مع تطبيق فكرة البتر على هذه النماذج. وتم استعمال تقديرات معلمات هذه النماذج الناتجة من برنامج (Easy Fit) كقيم أولية في استخراج تقديراتها بطريقة الإمكان الأعظم. وأخيراً تم حساب متوازن مربعات الخطأ لكل أنماذج، فالأنماذج الذي يعطي أقل قيمة لهذا المقياس يكون هو الأفضل.

### ٢.٣: عرض ووصف البيانات:

بلغت عدد حالات التعويض الخاصة بفرع التأمين الصحي وحسب ما هو مسجل في سجلات الشركة (2133) تعويض وهي لا تشمل تعويضات حوادث العنف المسلح. وإجمالي مبالغ هذه التعويضات هو (1,236,430,089) دينار. وبعد عملية جمع البيانات وتدقيقها وإدخالها في الحاسوب الإلكتروني تم ترتيبها تصاعدياً حسب مبلغ التعويض، حيث كان أقل مبلغ تعويض هو (38,000) دينار و أكبر مبلغ تعويض هو (2,000,000) دينار. ونظرًا لضخامة عدد التعويضات وتكرار بعض القيم فقد تطلب الامر وضعها بشكل جدول تكراري وذلك باستعمال برنامج (SPSS\_Frequency).

ولأجل إعطاء فكرة توضيحية عن طبيعة بيانات العينة تم استعمال برنامج التحليل الاحصائي SPSS في ايجاد قيم بعض المؤشرات الوصفية والمبنية في الجدول رقم (1-3) :-

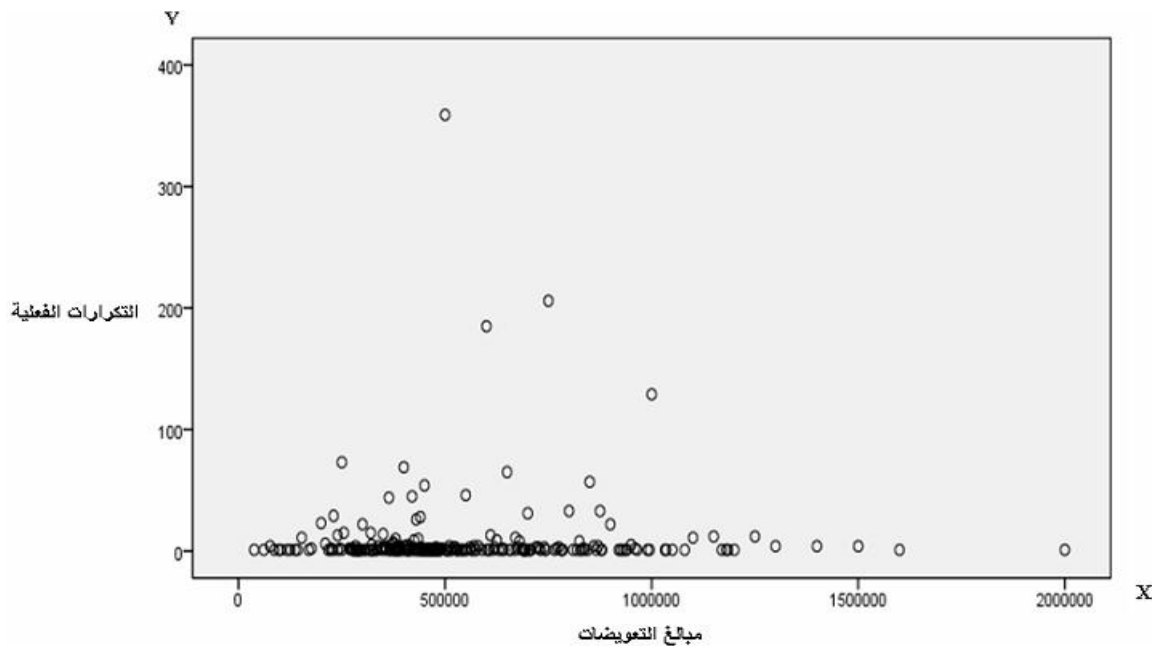
جدول رقم (1-3): قيم بعض المؤشرات الوصفية لبيانات العينة.

المؤشر	القيمة
الوسط الحسابي	579667.18
الوسيط	500000
المنوال	500000
الانحراف المعياري	235852.801
التبالين	55626543662.481
معامل الالتواز	0.749
معامل التفاطح	0.972

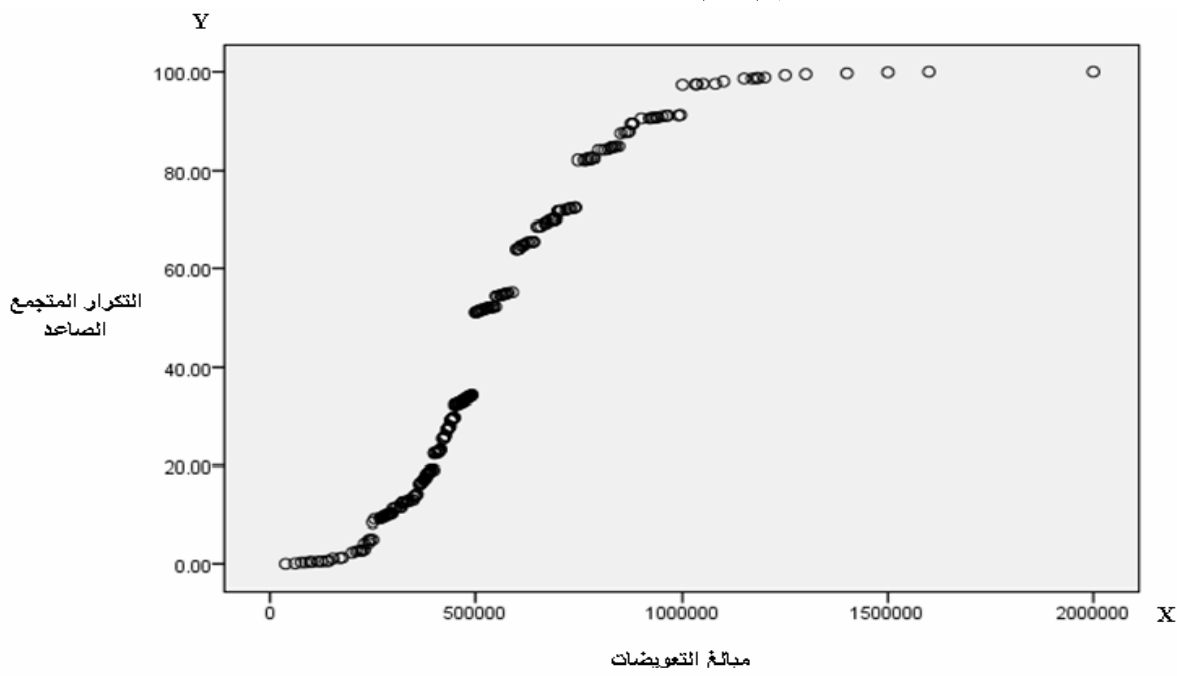
ومن خلال ملاحظة قيم هذه المؤشرات نرى بأن مقاييس النزعة المركزية تأخذ الترتيب الآتي:-  
 $\text{mode} \leq \text{median} < \text{mean}$

وهذه الصفة تتميز بها التوزيعات ذات معامل الالتواز الموجب (بأتجاه اليمين) أما من خلال ملاحظة قيمة معامل التفاطح فيشير إلى أن منحنى العينة أكثر تفاطحاً من المنحنى الطبيعي.  
 وبغية معرفة شكل توزيع العينة تم رسم شكل الانتشار لها باستعمال برنامج Scatter/Dot -Spss، حيث تم رسم مبالغ التعويضات (x) مقابل التكرارات الفعلية لها (y) وكما مبين في الشكل (1-3)، ومن خلاله نرى أن شكل المنحنى للبيانات ذو نهاية بطيئة لكنه ليس متافقاً بشكل حاد. وأن التكرار الحقيقي للمنوال والذي هو (500000) جعل المنحنى يرتفع بشكل حاد ثم ينخفض بشكل تدريجي.

كما تم رسم مبالغ التعويضات ( $x$ ) مقابل الاحتمالات التراكمية لها ( $y$ ) وكما مبين في الشكل (2) حيث يتضح من خلاله ان المنحنى يتزايد بشكل سريع في البداية (عند قيم التعويضات الصغيرة)، ثم يتناقص مقدار الزيادة بشكل واضح عند النهاية (عند قيم التعويضات الكبيرة).



شكل رقم (1-3): إنتشار بيانات العينة



شكل رقم (2-3): الدالة التجميعية الفعلية للعينة

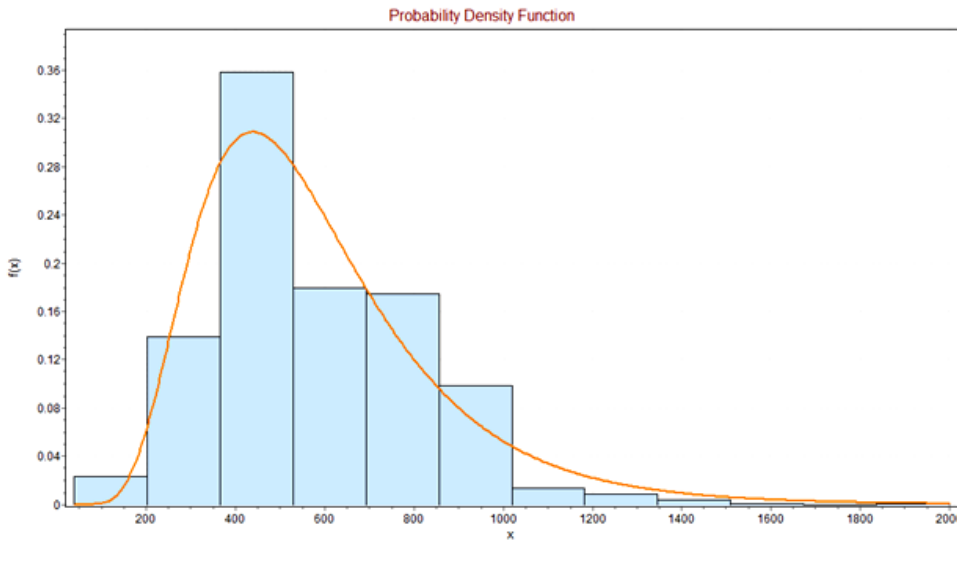
وتم استعمال برنامج (Easy Fit) لغرض الكشف الأولى عن أنواع النماذج التي تم استعمالها في البحث.

### 3-3 : توفيق البيانات لأنموذج المنفرد:

بالنسبة لتوزيع كل مشاهدات العينة والتي عددها ( $n=2133$ ), فقد حلّ توزيع (Lognormal) في المرتبة الأولى لإمتلاكه أقل قيمة لإحصاءة حسن المطابقة ( $X^2$ ) (Goodness of fit) والشكل رقم (3-3) يوضح توفيق منحنى توزيع (Lognormal) ولجميع مشاهدات العينة.

وهذه النتيجة للكشف الأولى تؤيد ما ذكر في البحث السابقة حول استعمال أنموذج (Lognormal) في دراسة توزيعات حجم الخسارة، فقد ذكر (Dropkin) أن منحنى (Lognormal) يعطي توفيقاً جيداً لأنواع مختلفة من بيانات التأمين بالإضافة إلى كونه سهل المعالجة رياضياً من الناحية التطبيقية<sup>(9)</sup>.

ولكون تعويضات التأمين الصحي محددة بمبلغ مقداره (2000)\* كأعلى حد للتعويض، فقد تم بناء أنموذج (Lognormal) المبتور من الأعلى لأنموذج منفرد للبيانات والمبنية صيغته في المعادلة رقم (12-2).



شكل رقم (3-3): توفيق منحنى توزيع Lognormal لجميع المشاهدات

### 4-3 : التقديرات الأولية وتقديرات الإمكان الأعظم لعلمتي توزيع Lognormal المبتور من الأعلى:

إن صيغ مقدرات الإمكان الأعظم للمعلمتين  $\mu$  و  $\sigma^2$  [معادلة (2-20) و (2-21)] على التوالي، تتطلب استعمال طريقة (نيوتون-رافسون) في حلها، وكالمعتاد فإن هذه الطريقة تتطلب إدخال قيمة أولية لكل من  $\mu$  و  $\sigma$ ، وتم استعمال قيم تقديرات هاتين المعلمتين الناتجة من استعمال برنامج (Easy Fit) كقيم أولية في إيجاد تقديرات الإمكان الأعظم لهما، حيث تم كتابة البرامج الخاصة بتقدير معلمات هذا الأنماذج بـاستعمال لغة بـبرنامج MINITAB\* والنتائج موضحة في الجدول رقم (3-2).

\* نظراً لكون قيم التعويضات كبيرة (بالملايين) تم إجراء قسمة البيانات على (1000) لتسهيل الحسابات.

\* يمكن الإطلاع والحصول على خطوات البرنامج عن طريق الباحثين.

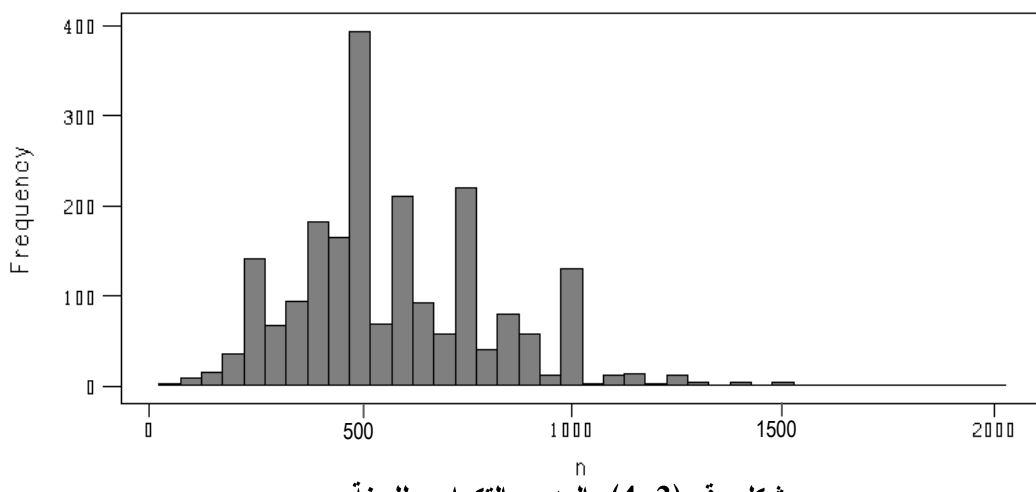
### 5.5: توفيق البيانات للأنموذج المركب:

بالنسبة للأنموذج المركب تم تقسيم العينة إلى جزئين بالإعتماد على نقطة تقسيم محددة؛ وتم اختيار النقطة ( $a=500$ ) والتي تمثل المتوسط (Mode) والوسيط (Median) في الوقت نفسه لجميع مشاهدات العينة كأفضل نقطة تقسيم، فمن خلال رسم المدرج التكراري للعينة يمكن ملاحظة أن القيمة (500) كأنها تفصل بين منحنيين جزئيين وكما موضح في الشكل (4-3):

والجزئين هما:

**الجزء الأول:** ويضم التعويضات الصغيرة وعددتها ( $m=1091$ ) مشاهدة والتي قيمها من أصغر مشاهدة وهي (38) إلى آخر مشاهدة قيمتها (500)، ومن خلال برنامج (Easy Fit) حل توزيع (Weibull) ذو المعلمتين في المرتبة الأولى لإمتلاكه أقل قيمة لاحصاءة حسن المطابقة ( $X^2$ ). والشكل رقم (5-3) يوضح توفيق منحنى توزيع (Weibull) ذو المعلمتين لهذه المجموعة. وعلى هذا الأساس تم بناء أنموذج (Weibull) ذو المعلمتين المبتور من الأعلى لهذه المجموعة والمبنية صيغته في المعادلة رقم (14-2).

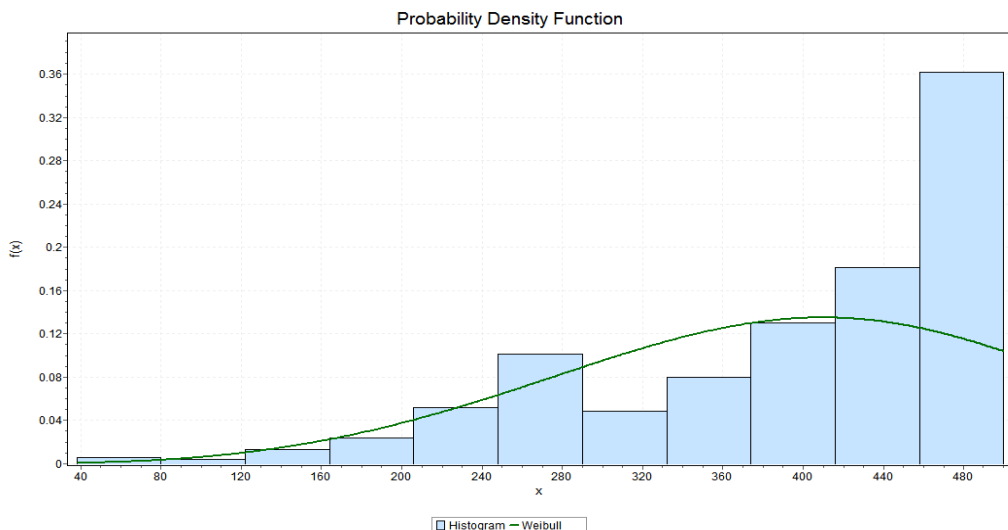
Histogram of n



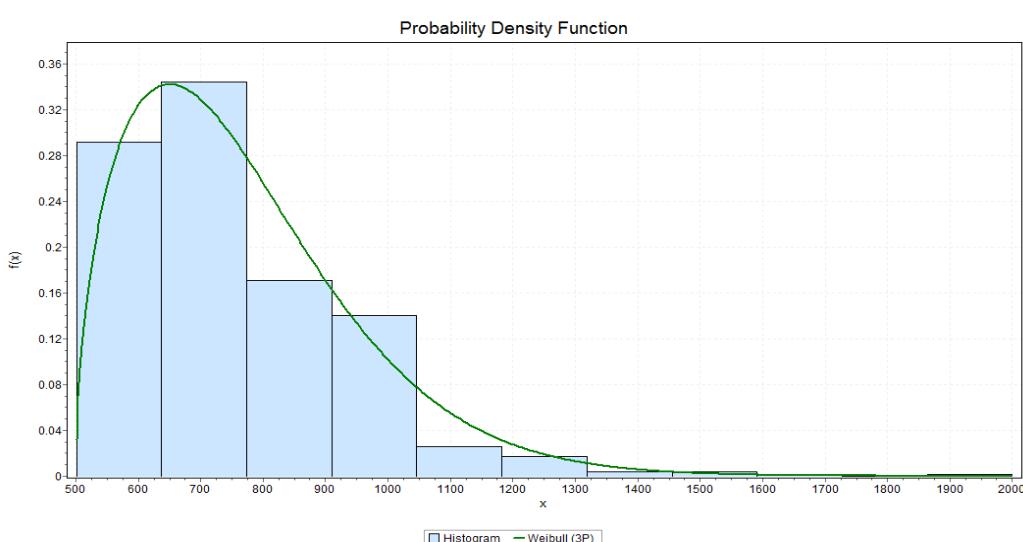
شكل رقم (4-3): المدرج التكراري للعينة

**الجزء الثاني:** ويضم التعويضات الكبيرة وعددها ( $n-m = 1042$ ) مشاهدة والتي قيمها من (501) إلى أكبر مشاهدة وهي (2000)، ومن خلال برنامج (Easy Fit) حل توزيع (Weibull) ذو الثلاث معلمات في المرتبة الأولى لإمتلاكه أقل قيمة لاحصاءة حسن المطابقة ( $X^2$ ). والشكل رقم (6-3) يوضح توفيق منحنى توزيع (Weibull) ذو الثلاث معلمات لهذه المجموعة. عليه فقد تم بناء أنموذج (Weibull) ذو الثلاث معلمات المبتور من الأعلى أيضاً لهذه المجموعة والمبنية صيغته في المعادلة رقم (15-2).

وبالتالي فإن معلمة الخلط ( $w$ ) ستكون عبارة عن المقدار ( $m/n = 1091/2133$ ). أي أن نسبة مساهمة توزيع المجموعة الأولى هي (0.51148619714) من التوزيع المركب ونسبة مساهمة توزيع المجموعة الثانية هي (0.48851380286) منه.



شكل رقم (5-3): توفيق منحنى توزيع Weibull ذو المعلمتين للتغويضات الصغيرة



شكل رقم (5-6): توفيق منحنى توزيع Weibull ذو الثلاث معلمات للتغويضات الكبيرة

### 6.3 : التـقـدـيرـات الـأـولـيـة وـتـقـدـيرـات الـإـمـكـان الـأـعـظـم لـمـلـعـمـات التـوزـعـ الـمـرـكـبـ

#### 6.3.1: بالـنـسـبـة لـلـجـرـء الـأـوـلـ والـذـي يـتـبع تـوزـع Weibull ذـو الـمـلـعـمـات الـمـبـتـورـ منـ الـأـعـلـى:

إن صيغ مقدرات الإمكان الأعظم للمعلمتين  $\theta$  و  $\gamma$  [معادلة (2-27) و (2-28)] على التوالي، تتطلب استعمال طريقة (نيوتون - رافسون) في حلها، وإن هذه الطريقة تتطلب إدخال قيمة أولية لكل من  $\theta$  و  $\gamma$  ، وتم استعمال قيم تقديرات هاتين المعلمتين الناتجة من استعمال برنامج (Easy Fit) كقيم أولية في إيجاد تقديرات الإمكان الأعظم لهما والنتائج موضحة في الجدول رقم (3-2).

#### 6.3.2: بالـنـسـبـة لـلـجـرـء الـثـانـي وـالـذـي يـتـبع تـوزـع Weibull ذـو الـمـلـعـمـات الـمـبـتـورـ منـ الـأـعـلـى:

إن صيغ مقدرات الإمكان الأعظم للمعلمتين  $\alpha$  و  $\lambda$  [معادلة (3-36) و (3-37)] على التوالي، تتطلب استعمال طريقة (نيوتون - رافسون) في حلها، وإن هذه الطريقة تتطلب إدخال قيمة أولية لكل من  $\alpha$  و  $\lambda$  ، وعلى فرض معلومة معلمة الموضع ( $\beta = a = 500$ ) تم استعمال قيم تقديرات هاتين المعلمتين الناتجة من استعمال برنامج (Easy Fit) كقيم أولية في إيجاد تقديرات الإمكان الأعظم لهما، والنتائج موضحة في الجدول رقم (3-2).

وتم كتابة البرامج الخاصة بتقدير معلمات جزئي هذا الأمودج باستعمال لغة برنامج (MINITAB) أيضاً.

جدول رقم (3-2): القيم الأولية وتقديرات الإمكان الأعظم لمعلمات النماذج المستعملة في البحث.

Model	Sample size	Initial value		MLE	
Upper truncated Lognormal	n= 2133	$\mu$	$\sigma$	$\hat{\mu}$	$\hat{\sigma}$
		6.2745	0.43806	26.5156	20.24117091
Upper truncated weibull (2p)	m= 1091	$\gamma$	$\theta$	$\hat{\gamma}$	$\hat{\theta}$
		445.33	3.7369	469.080	26.1573
Upper truncated weibull (3p)	n-m =1042	$\lambda$	$\alpha$	$\hat{\lambda}$	$\hat{\alpha}$
		298.55	1.5328	298.629	8.9212

من خلال ملاحظة الجدول أعلاه نجد أن التغير الحاصل في قيمة مقدر الإمكان الأعظم لمعلمة الشكل عن القيمة الأولية كبير نسبياً، أما التغير الحاصل في قيمة مقدر الإمكان الأعظم لمعلمة القياس عن القيمة الأولية فهو طفيف نسبياً، والسبب في ذلك يعود إلى مسألة البتر في التوزيع. ونستدل من ذلك أن حالة البتر في التوزيع تؤثر على معلمة الشكل أكثر من معلمة القياس.

### 7.3: التـكـرارـاتـ الـفـعـليـ وـالـنـظـريـ لـأـمـوذـج Lognormalـ الـمـبـتـورـ منـ الـأـعـلـى:

تم إحتساب التكرارات المتجمعة الفعلية لمبالغ التعويضات  $F(x)$  باستعمال برنامج (Spss)، أما التكرارات المتجمعة النظرية ( $\hat{F}(x)$  لأمودج Lognormal المبتور من الأعلى فتم إحتسابها من خلال استعمال الصيغة (13-2) وباستعمال برنامج (EXCEL) والإستعانة بجدول التوزيع الطبيعي<sup>(4)</sup>.

**8.3: التكرار المتجمع الفعلي والنظري لأنموذج Weibull المركب المبتور من الأعلى:**

تم إحتساب التكرارات المتجمعة الفعلية لمبالغ التعويضات  $F(x)$  بنفس الأسلوب السابق، أما التكرارات المتجمعة النظرية  $\hat{F}(x)$  لجزئي الأنماذج Weibull المركب المبتور من الأعلى فتم إحتسابها باستعمال الصيغة (2-17) وباستعمال برنامج EXCEL.

**9.3: حساب متوسط مربعات الخطأ لأنماذجين المنفرد والمركب المبتورين والمقارنة بينهما:**  
بعد الحصول على التكرارات المتجمعة الفعلية والنظرية للعينة تم حساب متوسط مربعات لأنماذج المنفرد المبتور (MSE<sub>UTL</sub>) باستعمال الصيغة رقم (2-43) وباستعمال برنامج EXCEL، وكانت النتيجة كالتالي:

$$MSE_{UTL} = 0.299$$

أما متوسط مربعات الخطأ لأنماذج المركب (MSE<sub>UTL</sub>) وباستعمال الصيغة رقم (2-43) أيضاً وإستعمال برنامج EXCEL، فكانت النتيجة كالتالي:

$$MSE_{UTCW} = 0.0206$$

ومن خلال مقارنة قيمة (MSE<sub>UTCW</sub>) وقيمة (MSE<sub>UTL</sub>) نرى بأن:

$$MSE_{UTCW} < MSE_{UTL}$$

وبذلك نستطيع القول بأن أنموذج Weibull المركب المبتور من الأعلى أفضل من أنموذج Lognormal المبتور من الأعلى في تمثيل بيانات العينة (بيانات التأمين الصحي).

## المبحث الرابع / الاستنتاجات والتوصيات

### ١-٤: المقدمة :

إن مثل هذه الدراسات عن توزيعات التعويضات وبناء النماذج الاحتمالية التي يمكن من خلالها دراسة ووصف طبيعة هذه البيانات وخصائصها من جهة وبناء التوقعات المستقبلية من جهة أخرى لم يتم التطرق إليها من قبل شركة التأمين العراقي على الرغم من أهمية الموضوع. لذا يمكن اعتبار هذه الدراسة هي أول دراسة احصائية تناولت جانب التأمين الصحي في العراق، ويمكن السير عليها والعمل باستعمال النماذج الاحتمالية في مختلف أنواع التأمين الأخرى.

### ٢-٤: الاستنتاجات:

تتضمن الاستنتاجات التي تم التوصل إليها عدة جوانب، وهي:

#### ١- ما يتعلق بجانب بيانات العينة\*:

- أ- إن مبالغ التعويضات التي تقل عن (1000000) دينار تشكل نسبة (91%) تقريباً من البيانات، أما مبالغ التعويضات الكبيرة فتشكل نسبة (8%) تقريباً وهي نسبة ضئيلة جداً. وقد تؤدي هذه الحالة إلى عدم دقة تقدير هذا الجزء من البيانات بسبب قلة عدد المشاهدات الواقعية ضمنه.
- ب- بعض مبالغ التعويضات ذات تكرارات عالية جداً قياساً بتكرارات المبالغ الأخرى. وتتركز عند الأعداد الصحيحة 250000، 500000، 750000... وهذا يؤدي إلى نوع من التشوه في عملية التعويض المتعلقة بهذا النوع من التأمين. فمثلاً: إن قيمة المنوال 500000 تشكل نسبة حوالي (14.5%) من مجموع التعويضات وهي نسبة عالية جداً حيث أدت إلى ارتفاع منحنى عينة البحث بشكل مفاجيء ثم انخفضه بشكل مفاجيء نسبياً بحيث يشكل المنحنى قمة مدببة عند هذه القيمة (شكل رقم (3-1)), وهذه الحالة جعلت مسألة توفيق أنموذج ملائم صعبة جداً لعدم وجود أنموذج إحتمالي يتوافق مع طبيعة هذه البيانات.

#### ٢- ما يتعلق بجانب معلمات النماذج المبتورة المقدرة بطريقة الإمكان الأعظم:

من خلال ملاحظة جدول (3-2) نجد أن التغير الحاصل في قيمة مقدر الإمكان الأعظم لمعلمة الشكل عن القيمة الأولية كبير نسبياً. أما التغير الحاصل في قيمة مقدر الإمكان الأعظم لمعلمة القياس عن القيمة الأولية فهو طفيف نسبياً، والسبب في ذلك يعود إلى مسألة البتر في التوزيع. ونستدل من ذلك أن حالة البتر في التوزيع تؤثر على معلمة الشكل أكثر من معلمة القياس.

- #### ٣- ما يتعلق بالأنموذجين (المنفرد والمركب) المبتورين المستعملين في هذه الدراسة:
- إن أنموذج Weibull المركب المبتور من الأعلى أفضل من أنموذج Lognormal المبتور من الأعلى، فمن خلال مقارنة قيمة  $MSE$  لهما نجد بأن ( $MSE_{UTCW} < MSE_{UTL}$ ) وهذا يدل على إن استعمال النماذج المركبة أفضل من استعمال النماذج المنفردة في تمثيل بيانات التعويضات (بيانات التأمين) بشكل عام.

\* يمكن الحصول والإطلاع على البيانات عن طريق الباحثين.

### 3-4: التوصيات:

- 1- استعمال أنموذج lognormal كأنموذج أولي عند توفيق أي نوع من أنواع بيانات التعويضات لكونه ذا مرونة عالية وسهل المعالجة من الناحية الرياضية.
- 2- ضرورة تكرار عملية توفيق النماذج الاحتمالية لأي بيانات جديدة يتم الحصول عليها وذلك لغرض دراسة التغيرات التي تطرأ على عملية التعويضات.
- 3- ضرورة إجراء دراسات مماثلة لأنواع التأمين الأخرى. فمن خلال هذه الدراسات يمكن الحفاظ على موازنات مستقرة لمحافظة شركة التأمين.
- 4- التوسيع في استعمال فكرة النماذج المركبة لظواهر أخرى وعدم الاقتصار على ظاهرة التعويضات.

### المصادر:

#### أ. المصادر العربية:

- 1- اسيل ناصر حسين، (2007)، "مقارنة بعض طرائق تقدير دالة المعلوية لتوزيع ويبل المختلط باستخدام المحاكاة"، رسالة ماجستير، كلية الادارة والاقتصاد، جامعة بغداد.
- 2- التقرير السنوي، (2009)، شركة التأمين العراقية، قسم التخطيط والمتابعة.
- 3- السيفي، بديع أحمد، (1972)، التأمين علمًا وعملاً. الطبعة الأولى، بغداد.
- 4- امير حنا هرمز، (1990)، الاحصاء الرياضي، جامعة الموصل، ص 138-141.
- 5- تسنيم حسن، (1988)، "نموذج احتمالي لتعويضات التأمين الازامي للسيارات"، رسالة ماجستير، كلية الادارة والاقتصاد، الجامعة المستنصرية.
- 6- د.الوردي سليم علي، (1987)، "الوجيز في اعادة التأمين العام" ، (مترجم) إصدار شركة اعادة التأمين العام السويسرية، ط 4، 1985، منشورات شركة التأمين الوطنية، بغداد.
- 7- علي، يحيى عبد، (1982)، "التعويض في تأمين السيارات الازامي والتكميلي" ، كلية الادارة والاقتصاد، جامعة بغداد.

#### بـ. المصادر الأجنبية:

- 8- Bury, Carl, v. (1975). "Statistical models in applied science". John Wiley and Sons, Inc., New York.
- 9- Dropkin, Lester B. (1964), "Size of loss distributions" CAS, LI, pp 198-259.
- 10- Hogg R.V.and Tanis, E.A. (1983) " Probability and statistical inference. Second edition. Macmillan publishing Co. Inc. Now York.
- 11- Hogg, Robert, V. and Klugman. Stuart, A. (1984) "Loss distributions" John Wiley & Sons, New York.
- 12- Patric, Gary., (1980), "Estimating casualty insurance loss distributions" , PCAS, 68, PP: 57-109.
- 13- Sandra Teodorescu & Eugenia Panaiteescu, 3 (2009), "On The Truncated Composite Weibull-Pareto Model", Math. Reports 11(61), pp 259-273.
- 14- Sandra Teodorescu, 1 (2010), "On The Truncated Composite Lognormal-Pareto Model", Math. Reports 12(62), pp 71-84..



## Use some probability amputated models to study the characteristics of health payments in the Iraqi Insurance Company

### Abstract

Due to the lack of previous statistical study of the behavior of payments, specifically health insurance, which represents the largest proportion of payments in the general insurance companies in Iraq, this study was selected and applied in the Iraqi insurance company.

In order to find the convenient model representing the health insurance payments, we initially detected two probability models by using (Easy Fit) software:

First, a single Lognormal for the whole sample and the other is a Compound Weibull for the two Sub samples (small payments and large payments), and we focused on the compound model in some detail in terms of drafting and its importance. With the application of the state of amputation in both the fact that the specific health payments from the top by two million dinars in this company.

Both models Parameters were estimated using the maximum likelihood method (MLE) and the use of style (Newton - Raphson) to find these estimates. And then compare between models using standard (MSE). Was reached in general that the compound model is better than a single model in the representation of payments.

**Keywords:** Insurance- Truncated distributions- Upper truncated lognormal model- Upper truncated Compound Weibull model- Maximum likelihood method.